

Informe de Laboratorio N°5

Alumno: Méndez Martín

Docentes: Dra. Marconi Verónica I.; Dr. Banchio Adolfo

Universidad Nacional de Córdoba (UNC)

Facultad de Matemática, Astronomía, Física y Computación (FaMAF)

Curso de Física Computacional: Problemas N°1,2,3

(*) Para mayor claridad se recomienda ver figuras en la versión digital.

I. INTRODUCCIÓN

I-1. Dinámica Molecular

La simulación de tipo dinámica molecular (DM) es una técnica útil en cálculos de equilibrio y propiedades de transporte de sistemas clásicos de muchos cuerpos. Y se trata de sistemas clásicos debido a que los centros de masa de las partículas constituyentes del sistema se mueven de acuerdo las leyes de la mecánica clásica y donde se estudian comportamientos en rangos donde los efectos cuánticos son despreciables. Por otro lado, las simulaciones de dinámica molecular comparten muchas propiedades de los experimentos reales, es decir, primeramente preparamos la muestra, aplicamos un sistema modelo consistente de n_p partículas y resolvemos las ecuaciones clásicas de movimiento (mecánica Newtoniana, Lagrangiana o Hamiltoniana) para este sistema hasta que las propiedades del sistema no cambien más con el tiempo (sistema en equilibrio), luego del equilibrio realizamos las mediciones de las propiedades correspondiente y para ello debemos expresar los observables que mediremos en función de las coordenadas generalizadas del sistema (posiciones y momentos).

I-2. Ensamble Microcanónico

Teniendo en cuenta que nos centramos en los posibles estados del sistema mecánico manteniendo el número de partículas fijo ($n_p = cte$), el volumen total del sistema ($L^3 = cte$) y la energía total del sistema ($E_{tot} = cte$), tratamos con un ensamble microcanónico.

I-3. Temperatura y corrección de velocidades

El significado físico clásico de la temperatura es que es una cantidad estadística y usando el teorema de equipartición de la energía, que involucra a todos los grados de libertad que aparecen como términos cuadráticos en el hamiltoniano del sistema, podremos expresar la energía cinética promedio por grado de libertad de la siguiente manera,

$$\left\langle \frac{1}{2} m(v_\alpha)^2 \right\rangle = \frac{1}{2} k_B T \quad (1)$$

ahora bien, como la energía cinética total del sistema fluctúa podemos definir la temperatura instantánea como muestra la ecuación [2]

$$T(t) = \sum_{i=1}^{n_p} \frac{m_i [v_i(t)]^2}{k_B N_f}; N_f = 3n_p \quad (2)$$

donde N_f se refiere a los grados de libertad del sistema.

Por otro lado, debido al número finito de partículas la temperatura puede modificarse demasiado debido al comportamiento de ciertas partículas en la simulación que al tener

un sistema finito es relevante. Por ello, en la termalización es necesario asegurarse de que no se produzcan cambios muy grandes de la temperatura respecto a la de referencia, para lograr esto, se produce un re-escalado de las velocidades utilizando el *termostato* más usual que se muestra en la ecuación [3]

$$\vec{v}(t_{new}) = \lambda \vec{v}(t_{old}); \lambda = \sqrt{\frac{T_{ref}}{T(t_{new})}} \quad (3)$$

teniendo en cuenta que altera la dinámica de las partículas, pues produce discontinuidades en las velocidades y no se logran cumplir las ecuaciones de Newton, se utiliza únicamente en el régimen transitorio hasta lograr la equilibración del sistema.

I-4. Potencial de Lennard-Jones

En el presente trabajo consideramos como potencial de interacción el potencial interatómico de Lennard-Jones (ver figura [1]) el cual sirve como modelo de fuerzas de enlace entre pares de moléculas y es utilizado para calcular la fuerza de van der Waals. Este potencial depende básicamente de tres parámetros (ver [4]) r_{ij} que es la distancia relativa entre centros de masa de un par de partículas, ϵ que es la magnitud del pozo de potencial y σ es la distancia interatómica para la cual el potencial se anula. Además, podemos notar que el primer término del potencial tiene en cuenta qué tan intensa es la repulsión entre el par de partículas a medida que aumenta (o disminuye) la distancia interatómica, y el segundo término tiene en cuenta qué tan intensa es la atracción entre el par de partículas a medida que aumenta (o disminuye) la distancia interatómica.

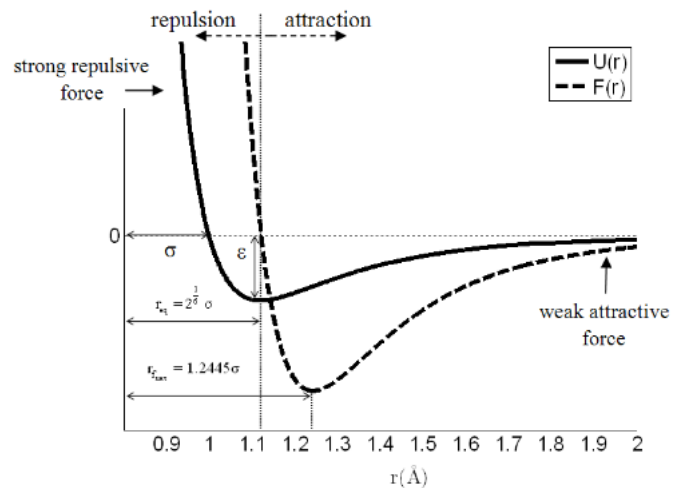


Fig. 1. Lennard-Jones: Potencial y fuerzas de interacción vs distancia interatómica

$$u_{ij} = 4\epsilon \left[\left(\frac{\sigma}{r_{ij}} \right)^{12} - \left(\frac{\sigma}{r_{ij}} \right)^6 \right] \quad (4)$$

$$r_{ij} = \sqrt{(x_i - x_j)^2 + (y_i - y_j)^2 + (z_i - z_j)^2}$$

Ahora bien, para las simulaciones es necesario adimensionalizar todas las magnitudes que tengan dimensiones, entonces el potencial individual quedará de la forma según [5]

$$u_{ij}^* = 4 \left(\frac{1}{r_{ij}^*} \right)^6 \left[\left(\frac{1}{r_{ij}^*} \right)^6 - 1 \right]; u_{ij}^* = \frac{u_{ij}}{\epsilon}; r_{ij}^* = \frac{r_{ij}}{\sigma} \quad (5)$$

Por otro lado, la fuerza interatómica se define como el opuesto al gradiente del potencial entre pares y en forma adimensional quedará según la ecuación [6]. Y en componentes será según [7]

$$f_{r,ij}^* = -\frac{\partial u_{ij}^*}{\partial r_{ij}^*} = 24 \frac{1}{r_{ij}^*} \left(\frac{1}{r_{ij}^*} \right)^6 \left[2 \left(\frac{1}{r_{ij}^*} \right)^6 - 1 \right] \quad (6)$$

$$f_{x_k,ij}^* = \frac{r_{x_k,ij}^*}{r_{ij}^*} f_{r,ij}^*; x_k = \{x, y, z\} \quad (7)$$

Finalmente el potencial total será la suma de los potenciales individuales como muestra la ecuación [8]. Notemos que se ha definido una distancia de corte entre pares r_{cutoff} este importante parámetro nos permite decidir hasta que distancia podemos considerar al potencial de interacción entre pares relevante, es decir, para distancias interatómicas mayores a este radio el potencial es despreciable y lo consideramos, a efectos prácticos, nulo, en otras palabras, este radio de corte nos permite determinar cuántas partículas vecinas interactúan cuando nos situamos en una dada partícula, la magnitud de este radio estará fuertemente influenciado a si estamos tratando con interacciones de largo o corto alcance, además, deberá ser menor a la mitad de la longitud L de la celda periódica como veremos luego.

$$U_{tot} = \sum_{j=2}^{n_p} \sum_{i=1}^{j-1} u_{ij}^*; \forall r_{ij}^* \leq r_{cutoff} \quad (8)$$

II. RESULTADOS Y DISCUSIONES

Primeramente se consideró un sistema de $n_p = 256$ partículas, densidad $\rho = 0,8$ (partículas por unidad de volumen), temperatura de referencia adimensional $T_{ref} = 1,1$, paso temporal adimensional de $\Delta t = 0,005$ radio de corte adimensional de $r_{cutoff} = 2,5$.

II-A. Configuración de estructura cristalina inicial

La configuración de las posiciones iniciales de las partículas considerada fue la de una estructura cúbica centrada en las caras (FCC), la cual tiene un total de 4 átomos por celda unidad, y cuyos vectores primitivos son $\vec{a}_1 = \frac{a}{2}(\hat{e}_x + \hat{e}_y)$; $\vec{a}_2 = \frac{a}{2}(\hat{e}_y + \hat{e}_z)$; $\vec{a}_3 = \frac{a}{2}(\hat{e}_x + \hat{e}_z)$, entonces, como el total de partículas debe conservarse, la celda unidad deberá repetirse un cierto número de veces de tal forma de respetar este vínculo y además cumplir con la densidad impuesta externamente ρ . El código desarrollado corresponde a la subrutina **initial_lattice_configuration** dentro del módulo **module_md_lennard_jones.f90** y en la figura [2] se puede observar la disposición de partículas en el estado inicial, la misma fue centrada en el rango $[-L/2; L/2]$.

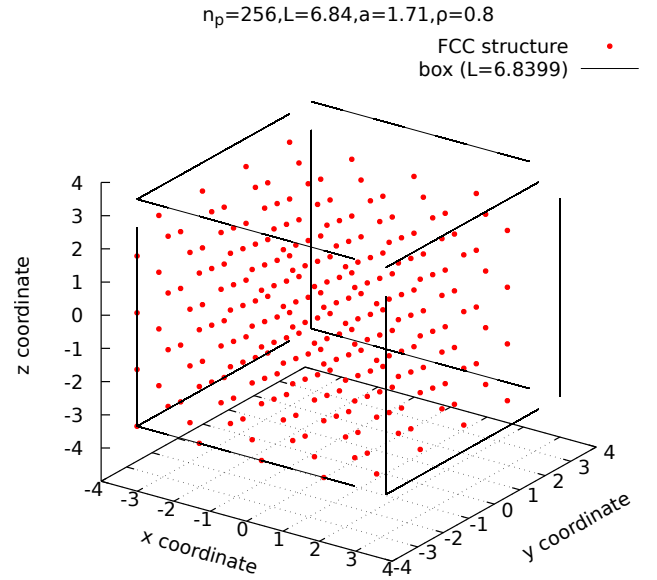


Fig. 2. Posiciones iniciales de las partículas: Estructura FCC

II-B. Condiciones de contorno periódicas y corrección por imagen mínima

Teniendo en cuenta que quieren estudiar propiedades en el equilibrio termodinámico ($n_p \rightarrow \infty$) y debido a que no nos interesan estudiar efectos de superficie, es decir, excluyendo el comportamiento de las partículas cerca del borde físico del sistema macroscópico, podremos eliminar dicho borde considerando una celda de estudio que se repite infinitamente, es decir, llenamos el espacio de copias idénticas de estas regiones de simulación. De esta manera una partícula que sale de esta región de estudio por alguna delimitación particular de esta, deberá ser remplazada inmediatamente por otra que tiene el mismo momento lineal desde la delimitación opuesta a la original, de esta forma actuará una condición de contorno periódica (PBC) sobre cada partícula. En la figura [3] se muestra esquemáticamente en qué consisten las PBC en un sistema partículas en 2D, en este caso cada partícula podrá cruzar la región de simulación por cualquiera de los cuatro borde, sin embargo, en 3D (como es nuestro caso) las partículas podrán cruzar la región por cualquiera de los 6 bordes de la celda tridimensional de estudio. Por el hecho de considerar PBC el cálculo de las fuerzas también requerirán ciertas correcciones, llamadas corrección de desplazamientos por imagen mínima las cuales consisten en que, al momentos de centrarnos en una determinada partícula para computar la fuerza neta actuando sobre ella debido a la interacción con las otras partículas del entorno, deberemos centrar también la celda de estudio en la propia partícula y considerar las distancias interatómicas dentro de esta nueva celda y, notando que las distancias relativas serán siempre menores o iguales a la mitad de la celda cúbica se deberán corregir todas aquellas distancias que superen la mitad de la celda cúbica de simulación. En la figura [4] se observa esquemáticamente esta convención para corregir el desplazamiento según imagen mínima. El código desarrollado para estas correcciones de posiciones y desplazamientos corresponde a las funciones **pbc_correction**, **rel_pos_correction** y a la subrutina **position_correction** dentro del módulo **module_md_lennard_jones.f90**.

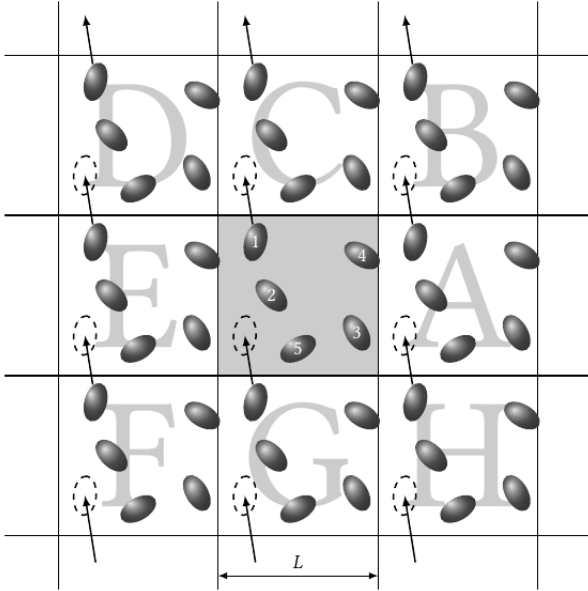


Fig. 3. Condiciones de contorno periódicas en un sistema 2D

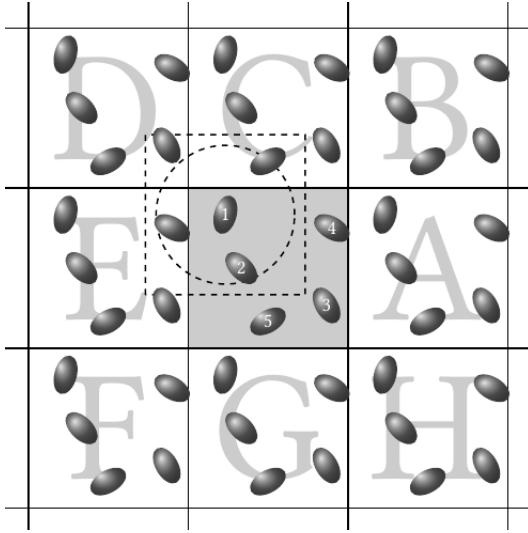


Fig. 4. Correcciones según imagen mínima en un sistema 2D

II-C. Configuración inicial de parámetros

Teniendo en cuenta que las simulaciones de DM se encargan de muestrear todo el espacio de configuraciones, el cual su éxito en dicha exploración dependerá únicamente del tiempo que le demos para recorrer el espacio y no de las configuraciones iniciales dadas, por ello, si bien sabemos que, en el equilibrio, las componentes de la velocidad seguirán una distribución Gaussiana y la velocidad total seguirá una distribución de Maxwell-Boltzmann, para reducir tiempo de simulación posiblemente se deba invertir un esfuerzo en proponer estas distribuciones de velocidad para el estado inicial, sin embargo, como veremos la ganancia de tiempo de CPU en las simulaciones de DM están fuertemente influenciadas por el cuello de botella del algoritmo, que es, el cálculo de las fuerzas de interacción entre pares de partículas. Entonces, debido a que no se gana demasiado en proponer distribuciones específicas en las velocidades iniciales, se propuso una distribución random uniforme en el rango $[-0,5; 0,5]$ para cada componente de la velocidad (utilizando el generador de números pseudoaleatorios Mersenne Twister), por otro lado, cuando nos referimos a las velocidades de las partículas, las medimos respecto del centro de masas del sistema, por

tanto, la presión y la temperatura del sistema de partículas no se modifican si el recipiente que lo contiene está en movimiento, para ello a las velocidades aleatorias se le resta la velocidad del centro de masas. Luego, se escalan las velocidades según el termostato descrito en la sección I-3. Cabe mencionar que las posiciones iniciales según la estructura FCC podrían modificarse restándoles las distancias que recorrería cada partícula con las velocidades iniciales definidas anteriormente y luego corregir dichas posiciones según PBC, sin embargo, esta consideración es irrelevante respecto a los resultados obtenidos en el equilibrio e introduce cierto tiempo de CPU que desea reducirse, por ello no fueron consideradas en las simulaciones y se partió de una configuración posicional de las partículas según la estructura FCC. El código desarrollado para estas configuraciones iniciales corresponde a la subrutina **md_initial_parameters** dentro del módulo **module_md_lennard_jones.f90**.

II-D. Integración de las ecuaciones de movimiento

Teniendo en cuenta que las simulaciones de Dinámica Molecular, a diferencia de las simulaciones configuracionales de Monte Carlo, siguen una dinámica realista, por ello, las ecuaciones de movimiento deben cumplir con leyes de conservación de momento lineal, momento angular y la energía total del sistema (para sistemas con vínculos holónomos e independientes del tiempo, y cuyo potencial no depende de las velocidades entonces, el hamiltoniano es igual a la energía del sistema y si además el sistema es invariante ante traslaciones temporales el hamiltoniano, y en consecuencia la energía, se conserva). Las PBC inducen pérdida de simetría rotacional del sistema y en consecuencia el momento angular no puede conservarse en simulaciones que utilicen PBC. Los métodos de integración más utilizados son algoritmo de Verlet clásico, algoritmo de Leap-Frog, los cuales son inestables (estrictamente el algoritmo de Verlet clásico no conserva la energía del sistema sino que conserva la energía de un pseudo-hamiltoniano que en el límite de tiempos cortos es igual al hamiltoniano real), y el algoritmo de velocity-Verlet, que es estable. Este último es el que aplicamos en el presente trabajo. El código desarrollado para la integración de las ecuaciones de movimiento corresponde a la subrutina **velocity_verlet** dentro del módulo **module_md_lennard_jones.f90**. Cabe aclarar que se aplicó una variante del algoritmo que no requiere mantener guardado el vector fuerza en el tiempo anterior para computar las velocidades finales, debido a que se integra en dos pasos las ecuaciones de movimiento, utilizando un paso intermedio ficticio para aproximar las soluciones y disminuyendo el espacio en memoria de las simulaciones por cada llamada al integrador.

II-E. Estado transitorio y estacionario

Para llevar a cabo la equilibración del sistema (estado transitorio) se implementaron $t_{eq} = 1000$ pasos de integración, de los cuales cada $t_{scal} = 50$ pasos se escalan las velocidades según el termostato descrito en la sección I-3 y todos los pasos se corrigieron las velocidades restándole la velocidad del centro de masa del sistema. En la figura 5 se puede observar la temperatura instantánea en el régimen transitorio y cómo se produce el escaleo de velocidades cada cierto tiempo para corregir la temperatura y llevarla a la temperatura de referencia. Una vez relajado el sistema, se implementaron $t_{run} = 1000$ pasos de integración, sin escaleo de velocidades y sin correcciones respecto a la velocidad del centro de masa

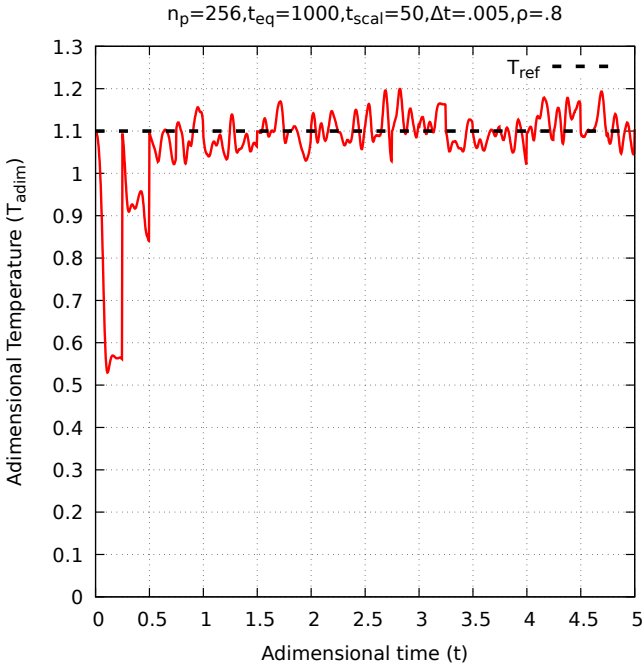


Fig. 5. Temperatura instantánea vs tiempo: régimen transitorio

del sistema, esto último es debido a que la velocidad total del centro de masa del sistema equilibrado produce correcciones a la temperatura que son despreciables respecto al orden de magnitud de las fluctuaciones de temperatura en el equilibrio, como se puede apreciar en la figura 7.

En la sección III se puede consultar un vídeo realizado con GNUPLOT para observar la dinámica de partículas, esta técnica nos permite observar qué tanto se mueven las partículas y corroborar si las PBC están aplicadas correctamente.

II-F. Distribución de velocidades

Luego de la termalización realizamos histogramas de las componentes de la velocidad y de la velocidad total, y se compararon los resultados con las soluciones exactas también calculadas según la temperatura de referencia y las magnitudes de la velocidad. Los histogramas de probabilidad se llevaron a cabo mediante GNUPLOT, a través de la función **histogram** utilizando directamente las componentes de la velocidad y de la velocidad total tomadas a cada tiempo de integración y, también, realizando un biseo explícito (en este caso particular se utilizaron 50 bins) desde FORTRAN. Los histogramas se compararon con las soluciones exactas correspondientes a una distribución Gaussiana para las componentes de la velocidad y una distribución de Maxwell-Boltzmann para la velocidad total. Como podemos observar en la figura 6, las distribuciones están en acuerdo con las predicciones teóricas, lo cual nos permite corroborar que efectivamente a pesar de iniciar una distribución uniforme de velocidades el sistema relaja a la distribución adecuada según la teoría cinética de los gases. Las diferencias apreciables de la velocidad total respecto a la distribución de Maxwell-Boltzmann podrían deberse a la normalización de las distribuciones y/o a la ligera desviación del sistema de partículas respecto al gas ideal, para ver este último aspecto podría variarse la densidad de partículas y ver si la distribución se ajusta más a la exacta. El código principal para la obtención de estas distribuciones corresponde a **molecular_dynamic_lennard_jones_03.f90**.

II-G. Cálculo de observables

II-G1. Energía potencial, cinética y total

Conseguida la equilibración del sistema se graficaron las energías cinética, potencial y total del sistema de partículas para cada tiempo de integración, corroborando la conservación de la energía total del sistema (ver 7). Además, se graficó la presión instantánea del sistema en función del tiempo y la temperatura instantánea del sistema.

La presión se calculó teniendo en cuenta el término correspondiente al gas ideal y el término correspondiente al teorema del virial de la siguiente manera:

$$P = \rho k_B T + \frac{1}{dV} \left\langle \sum_{\langle ij \rangle} \vec{f}(\vec{r}_{ij}) \cdot \vec{r}_{ij} \right\rangle \quad (9)$$

$$d = 3; V \equiv L^3 = n_p / \rho$$

Entonces, las gráficas asociadas a cálculos de presión corresponden a la presión adimensional total del sistema, presión debida al gas ideal y presión osmótica. Ahora bien, adimensionalmente y trabajando un poco la ecuación tendremos una expresión para la presión adimensional, la cual fue implementada en las simulaciones

$$P^* = \rho \left[T^* + \frac{1}{3n_p} \left\langle \sum_{\langle ij \rangle} (f_{x,ij}^* r_{x,ij}^* + f_{y,ij}^* r_{y,ij}^* + f_{z,ij}^* r_{z,ij}^*) \right\rangle \right]$$

$$\langle \dots \rangle = \left\langle \sum_{\langle ij \rangle} \left(\frac{(r_{x,ij}^*)^2}{r_{ij}^*} f_{r,ij}^* + \frac{(r_{y,ij}^*)^2}{r_{ij}^*} f_{r,ij}^* + \frac{(r_{z,ij}^*)^2}{r_{ij}^*} f_{r,ij}^* \right) \right\rangle$$

$$\langle \dots \rangle = \left\langle \sum_{\langle ij \rangle} r_{ij}^* f_{r,ij}^* \right\rangle$$

$$\Rightarrow P^* = \rho \left[T^* + \frac{1}{3n_p} \left\langle \sum_{\langle ij \rangle} r_{ij}^* f_{r,ij}^* \right\rangle \right] \quad (10)$$

Notemos que $\langle \dots \rangle$ se refiere al promedio temporal. Además, teniendo en cuenta que para la reducción del tiempo de CPU en las simulaciones se computan los cálculos relacionados a la fuerza de interacción hasta un radio de corte r_{cutoff} sin embargo, el potencial y la fuerza, más allá de este radio no es nula (lo cuál suponemos en los cálculos), entonces, se inducirá un error sistemático respecto a la solución real. En el caso particular de la presión la corrección a la misma se puede calcular de la siguiente manera:

$$\Delta P_{tail} = \frac{16}{3} \pi \rho^2 \epsilon \sigma^3 \left[\frac{2}{3} \left(\frac{\sigma}{r_{cutoff}} \right)^9 - \left(\frac{\sigma}{r_{cutoff}} \right)^3 \right] \quad (11)$$

y de forma adimensional tendremos la siguiente expresión;

$$\Delta P_{tail}^* = \frac{16}{3} \pi \rho^2 \left(\frac{1}{r_{cutoff}^*} \right)^3 \left[\frac{2}{3} \left(\frac{1}{r_{cutoff}^*} \right)^6 - 1 \right] \quad (12)$$

que, en el caso en que, $\rho = 0,8$ y $r_{cutoff}^* = 2,5$ tendremos un tail corrección de $\Delta P_{tail}^* = -0,6844$.

El código desarrollado para el cálculo de las energías, presión y temperatura corresponden a las funciones **u_lj_total** para la energía potencial total, **kinetic_ergy_total** para la energía cinética total, **temperature** para la temperatura y **pressure** para la presión dentro del módulo **module_md_lennard_jones.f90**. Y el código principal corresponde a **molecular_dynamic_lennard_jones_01.f90**.

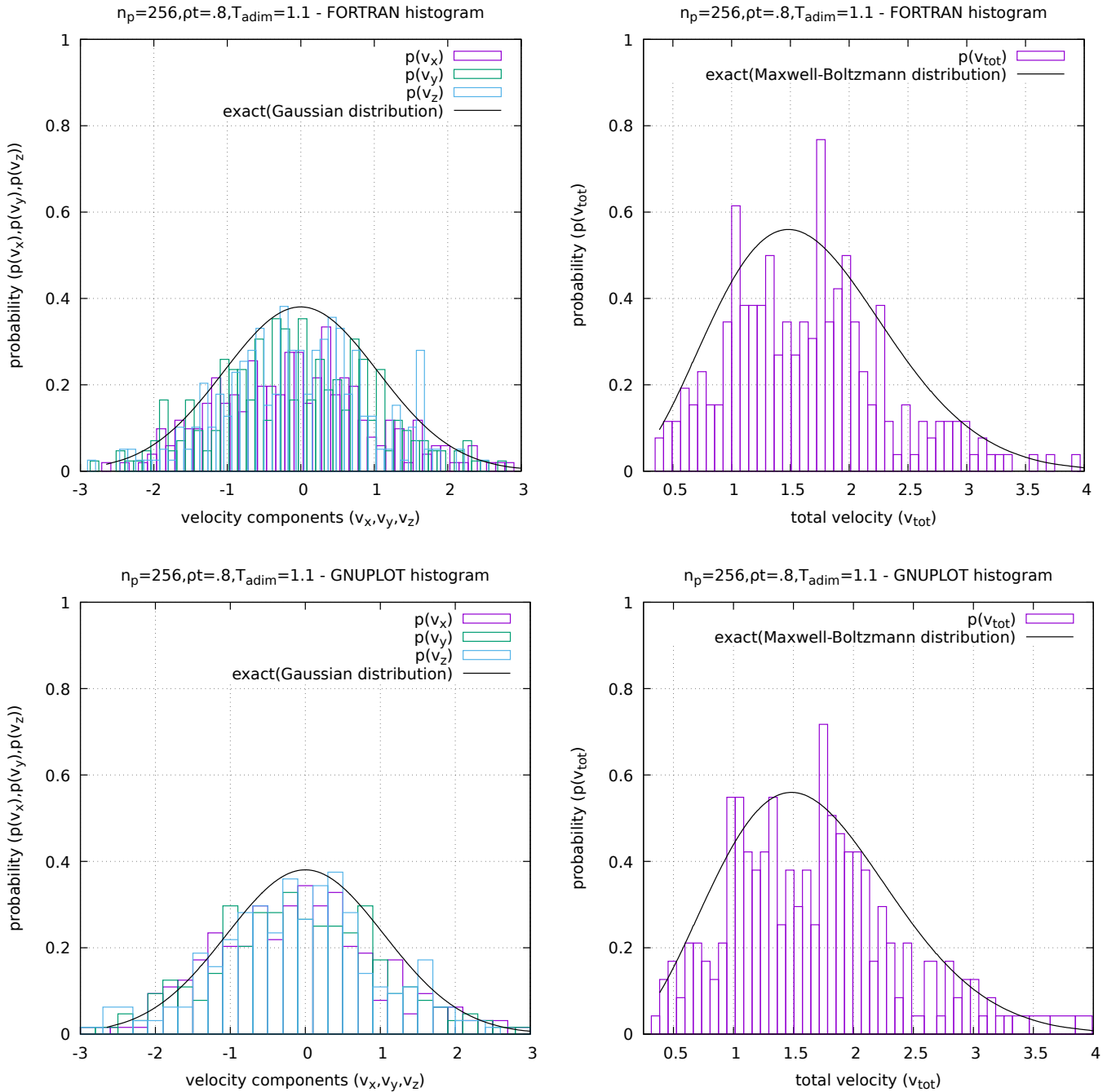


Fig. 6. Distribuciones de probabilidad para las velocidades

II-G2. Valores medios y fluctuaciones de observables

Luego de de termalización del sistema también se calcularon los valores medios (primer momento) y fluctuaciones (varianza) de las energías potencial, cinética y total; de la presión y de la temperatura. Los resultados obtenidos se pueden apreciar en la figura 15.

Para el cálculo de los valores promedios y fluctuaciones nos valemos de las propiedades de ergodicidad del sistema el cual nos permite calcular valores de expectación de una única corrida (experimento) suficientemente larga (promedio temporal) y no muchos experimentos con configuraciones completamente descorrelacionadas entre si (promedio en el ensamble). En la figura 15 se puede apreciar cómo al calcular promedios temporales e ir incluyendo mayor cantidad de términos las fluctuaciones disminuyen convergiendo a un valor medio el cual, por hipótesis ergódica, es igual al pro-

medio del observable en el ensamble (microcanónico en este caso particular). En línea punteada, se graficaron los valores medios del último paso de integración y se aclaran los errores obtenidos. Como podemos observar los todos los observables fluctúan, sin embargo, contrario a nuestra primera intuición la energía total también fluctúa pero entorno a valores con orden de magnitud tres veces menores al del orden de magnitud de las fluctuaciones asociadas a las energías potencial y cinética, aunque la energía total se conserva, la existencia de fluctuaciones en esta podría deberse al paso temporal Δt elegido el cual, como veremos luego, influye significativamente en las fluctuaciones de la energía total. El código principal para la obtención de valores medios y fluctuaciones corresponde a **molecular_dynamic_lennard_jones_02.f90**.

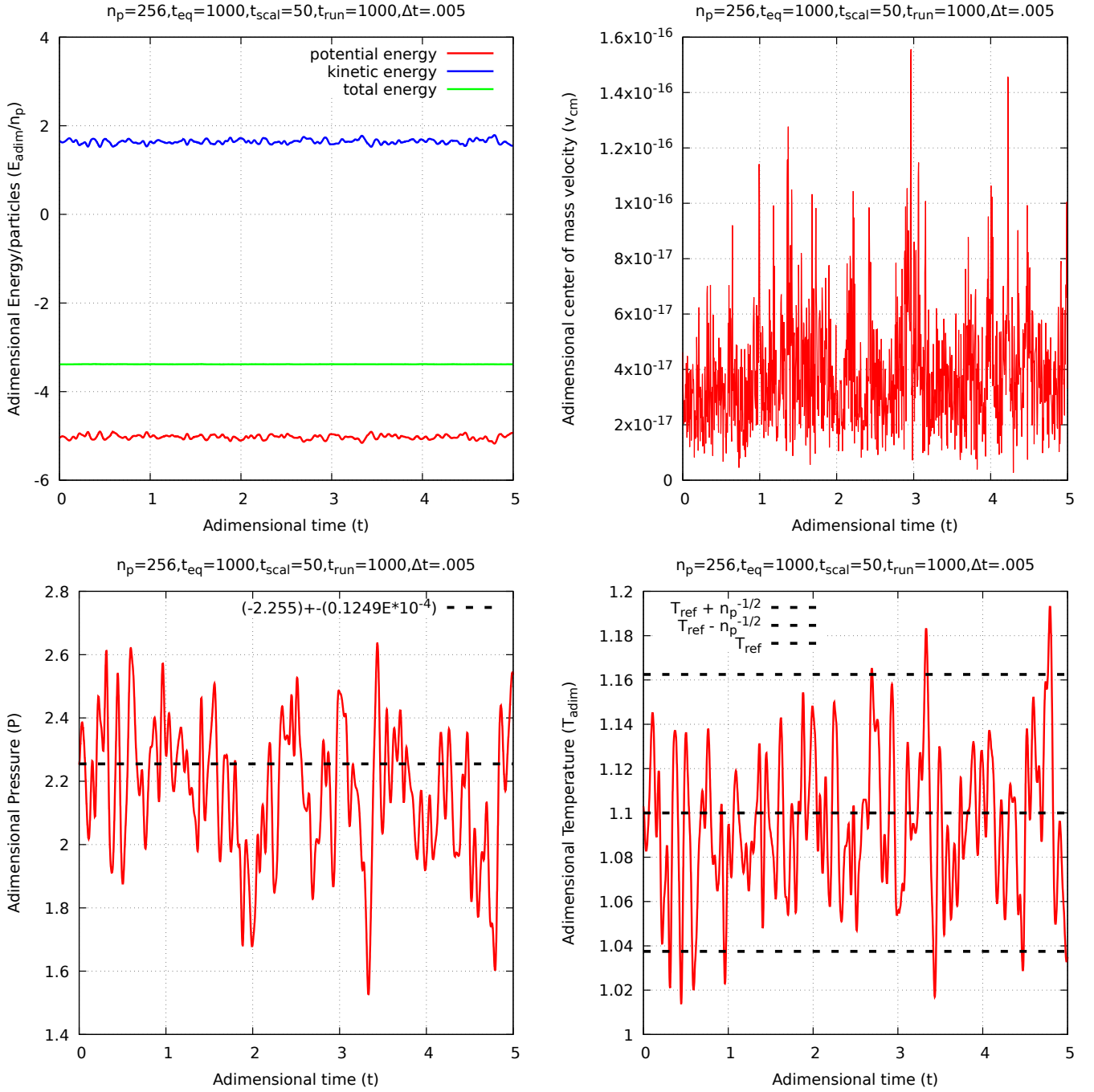


Fig. 7. Energías, velocidad del centro de masa, presión y temperaturas instantáneas vs tiempo

II-H. Dependencia de errores y tiempos de CPU

Se calcularon las razones entre fluctuaciones de energía total y fluctuaciones de energía cinética en función del paso de integración Δt , para poder comparar los resultados a cada paso de tiempo propuesto se definieron los pasos de equilibración, pasos de escaleo de velocidades y pasos de corrida de tal forma de mantener constante el tiempo real físico adimensional en cada etapa de la siguiente manera:

$$t_{eq} = \frac{t_{real-eq}^*}{\Delta t}; t_{scal} = \frac{t_{real-scal}^*}{\Delta t}; t_{run} = \frac{t_{real-run}^*}{\Delta t} \quad (13)$$

$$t_{real-eq}^* \equiv t_{real-run}^* = 5; t_{real-scal}^* = 0,25$$

El código principal para la obtención de las razones entre fluctuaciones de energía total y fluctuaciones de energía cinética en función del paso de integración corresponde a **molecular_dynamic_lennard_jones_04.f90**.

Por otro lado se calcularon las razones entre fluctuaciones de energía total y fluctuaciones de energía cinética en función del radio de corte r_{cutoff} de las interacciones entre pares de partículas, para ello se tomo un paso de integración pequeño $\Delta t = 0,005$ de tal manera que las fluctuaciones no dependan apreciablemente de este parámetro sino que su comportamiento esté determinado esencialmente por el radio de corte. Los resultados obtenidos se muestran en la figura 8, donde se aprecia aproximadamente una dependencia lineal de a tramos de la razón de fluctuaciones con el paso de integración una dependencia exponencial decreciente de la razón de fluctuaciones con el radio de corte para las interacciones. Estos resultados nos estarían mostrando que para mejorar la precisión de las simulaciones de DM, es decir, reducir las fluctuaciones de la energía total del sistema deberemos utilizar pasos de integración suficientemente pequeños

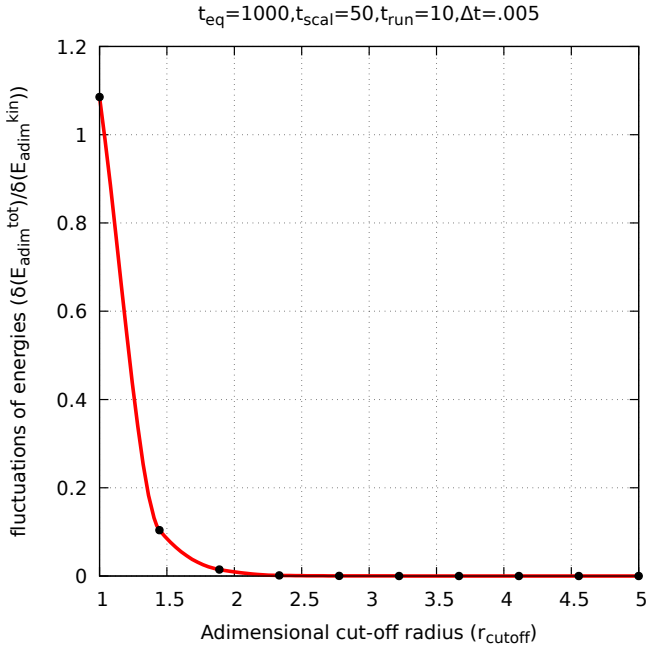
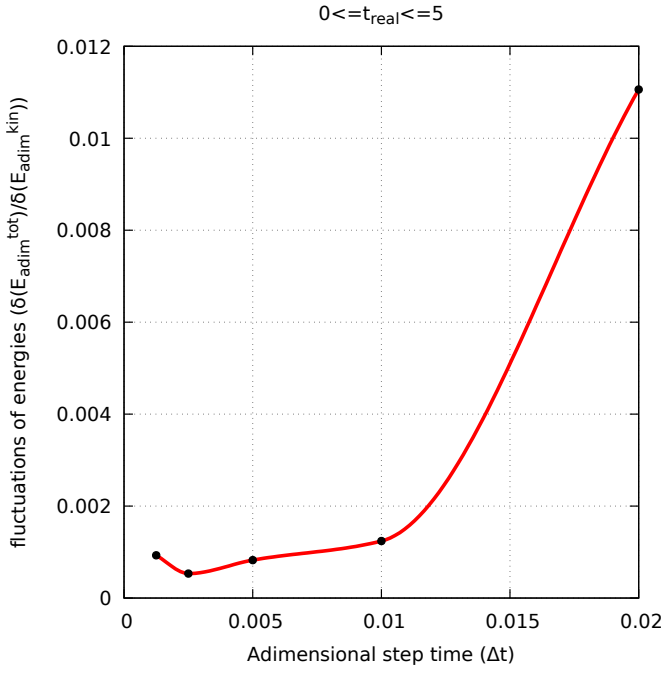


Fig. 8. Razón entre fluctuaciones de energía vs pasos temporales

como para que las fluctuaciones dependan fuertemente del radio de corte y además, considerar un radio de corte mayor a la mitad de la dimensión del cubo periódico de estudio ($\Delta t \ll 1 \wedge r_{cutoff} < L/2$). El código principal para la obtención de las razones entre fluctuaciones de energía total y fluctuaciones de energía cinética en función del radio de corte corresponde a **molecular_dynamic_lennard_jones_05.f90**.

Finalmente, se realizó un estudio de escalamiento del sistema, es decir, se simulaban distintos tamaños de sistema aumentando el número de partículas en la forma $n_p = 4i^3$; $i \in N \wedge 3 \leq i \leq 8$. Para definir el radio de corte de interacciones se tomó como criterio que el mismo sea igual a $r_{cutoff} = 0,3L$ donde $L = \sqrt[3]{\frac{n_p}{\rho}}$ es el lado del cubo de estudio el cual se repite según las PBC. En la gráfica [9] se observan los resultados obtenidos, en donde se llevó a cabo un fiteo ajustando una ecuación polinómica a través de dos

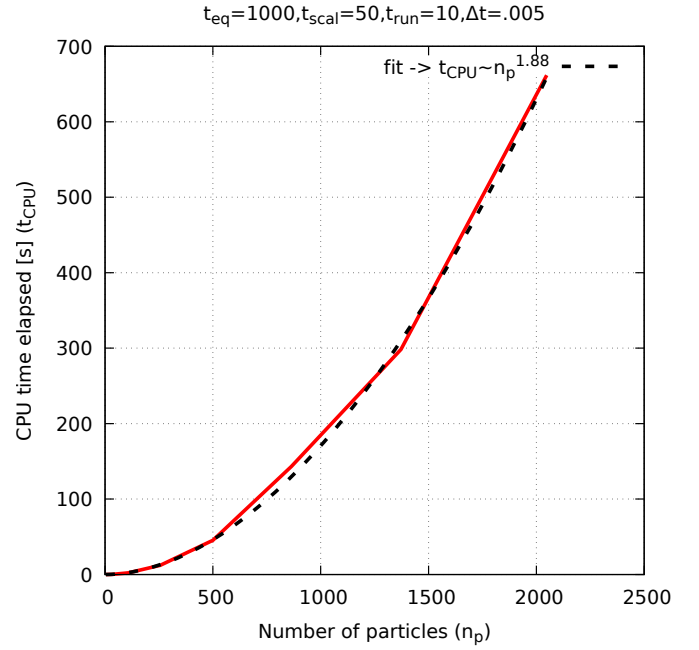


Fig. 9. Escalado del sistema vs tiempo de CPU

parámetros de ajuste, y en donde podemos observar que el coste computacional crece cuadráticamente con el escalado del sistema. El código principal para la medida de *performance* corresponde a **molecular_dynamic_lennard_jones_06.f90**. Para lograr un escalamiento lineal del coste computacional se emplean mejoras algorítmicas como las llamadas **linked list**, estas listas son las comunmente utilizadas en cualquier simulación de dinámica molecular.

II-I. Ensemble canónico (Problema 2)

Para realizar las simulaciones en el ensemble canónico se utilizó el termostato descrito en la sección [1-3] en todos los pasos de integración de las ecuaciones de movimiento, de tal forma de mantener constante la temperatura. Además, los parámetro de simulación fueron modificados respecto a lo utilizado hasta el momento con $n_p = 500$ partículas, temperatura adimensional $T_{adim} = 1,1$, densidades de $\rho = 0,8$ y $\rho = 1,2$ y, para asegurarnos de que el sistema equilibre totalmente se aumentaron los pasos de termalización a $t_{eq} = 2000$.

II-II. Función de distribución radial

La función de distribución radial se define de las siguiente manera

$$g(r) = \frac{(\langle n_p \rangle \in [r; r + dr])_{sistema}}{(\langle n_p \rangle \in [r; r + dr])_{gas\ ideal}} = \frac{n_{histogram}(r)}{n_{gas\ ideal}(r)} \quad (14)$$

$$n_{gas\ ideal}(r) = \frac{4\pi\rho}{3}[(r + dr)^3 - r^3]$$

entonces la función de correlación de pares nos muestra cómo varía la densidad de partículas en función de la distancia interatómica medida respecto de alguna posición de referencia. La normalización respecto al gas ideal es debido a que, para este los pares de partículas están totalmente descorrelacionados y la correlación aumenta a mitad que el sistema se solidifica, siendo máximo para un sólido e intermedio para un fluido. Cabe mencionar que para fabricar el histograma de distribución de partículas se utilizaron $n_{bins} = 1000$ bins. En la figura [10] podemos observar el resultado obtenido para la función de correlación espacial. En la misma, vemos que para

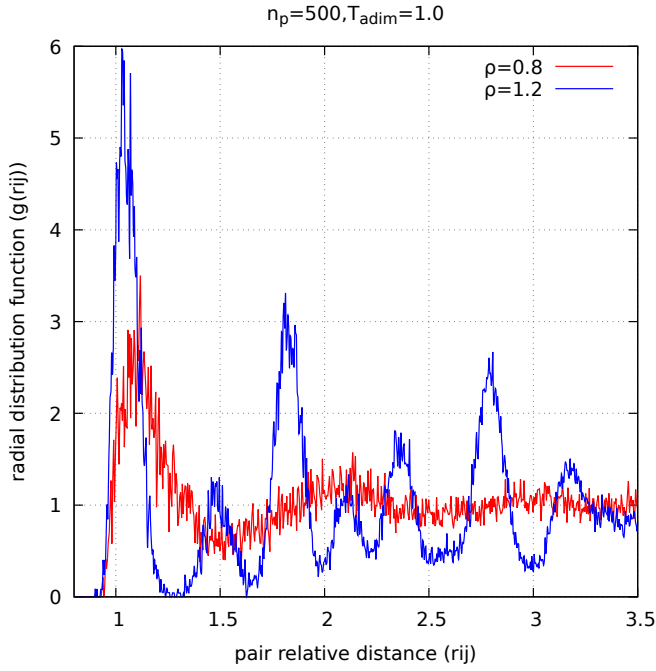


Fig. 10. función de correlación espacial vs distancia iteratómica

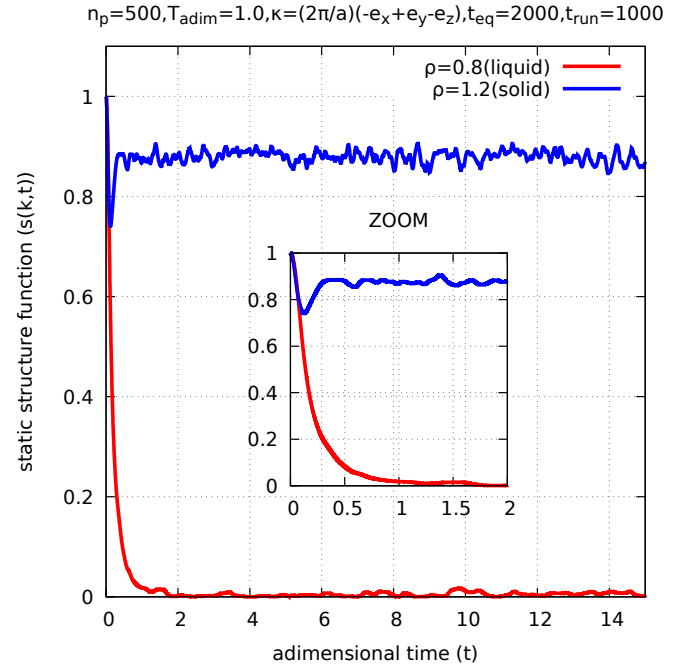


Fig. 11. función de estructura estática vs tiempo adimensional

el caso de mayor densidad se obtiene una curva con más picos localizados, lo que nos muestra que se trata de una estructura bastante sólida, es de esperar que en una región donde el material es completamente sólido los picos se encuentren en las posiciones de red de Bravais correspondiente, simulando una función tipo peine de Dirac. Por otro lado, para el caso de menor densidad la función de correlación es más suave evidenciando una mayor descorrelación espacial, y un mayor grado de amorfismo del sistema, y podríamos asociarlo a una fase líquida.

El código principal para la obtención de la función de correlación espacial corresponde a **md_lj_canonical_ensamble_01.f90** el cual utiliza la subrutina **radial_distribution_function** dentro del módulo **module_md_lennard_jones.f90**.

II-I2. Factor de estructura cristalino

La definición del factor de estructura estático es la siguiente:

$$S(\vec{k}, t) = \frac{1}{N^2} \left| \sum_j \exp(i\vec{k} \cdot \vec{r}_j(t)) \right|^2 \quad (15)$$

$$\vec{k} = \frac{2\pi}{a} (-\hat{e}_x + \hat{e}_y - \hat{e}_z); a = \sqrt[3]{\frac{n_{FCC}}{\rho}}$$

donde \vec{k} es un vector de onda (estrictamente un momento cristalino) perteneciente a la red recíproca, a es el parámetro de red de la red cristalina y $n_{FCC} = 4$ es la cantidad de átomos por celda unidad.

En la figura [11](#) se puede observar los resultados obtenidos para el factor de estructura estático, el cual es un parámetro de orden cristalino del sistema. Como podemos notar, para el caso del sistema líquido el factor de estructura se anula evidenciando un completo desorden estático del sistema (el decaimiento está asociado directamente con la dimensión del sistema con una pendiente proporcional $1/n_p$) y para el caso del sistema sólido el factor de estructura se estabiliza en un valor menor a la unidad, lo cual es esperable.

El código principal para la obtención del parámetro de orden cristalino corresponde a **md_lj_canonical_ensamble_02.f90**, el cual utiliza la función **static_structure_factor** dentro del módulo **module_md_lennard_jones.f90**.

II-I3. Desplazamiento cuadrático medio y coeficiente de difusión

La definición de desplazamiento cuadrático medio (MSD) y su relación con el coeficiente de difusión es la siguiente:

$$\langle |\vec{r}(t) - \vec{r}(0)|^2 \rangle = \frac{1}{n_p} \sum_{i=1}^{n_p} [\Delta \vec{r}_i(t)]^2 \cong 6Dt \quad (16)$$

donde D es el coeficiente de difusión. En la figura [12](#) se pueden apreciar los resultados obtenidos, donde se puede notar que para el caso del fluido ($\rho = 0,8$) la dependencia del MSD con el tiempo de correlación está en acuerdo con la teoría (proceso difusivo, comportamiento lineal) y para el sistema sólido tenemos un comportamiento un poco extraño, evidenciando, posiblemente, a una no difusión de partículas en el medio (comportamiento balístico). Para las simulaciones se consideraron $\tau_{corr}^{max} = 5000$ pasos máximos de correlación, almacenando $n_{max\tau_{corr}} = 500$ valores distintos para el computo del MSD.

El código principal para la obtención del desplazamiento cuadrático medio corresponde a **md_lj_canonical_ensamble_03.f90**

II-J. Transición sólido-líquido (Problema 3)

En este caso se implementó una simulación de DM en el ensamble canónico escaleando las velocidades (según el termostato descrito en la sección [I-3](#)) en cada paso de integración de la ecuaciones de movimiento. Los parámetros elegidos para este caso fueron $n_p = 256$ partículas, un paso temporal de integración de $\Delta t = 0,005$, $t_{eq} = 1000$ pasos de termalización, $t_{run} = 2000$ pasos de corrida en régimen estacionario, un radio de corte de interacciones de $r_{cutoff} = 2,5$, temperatura adimensional de referencia de

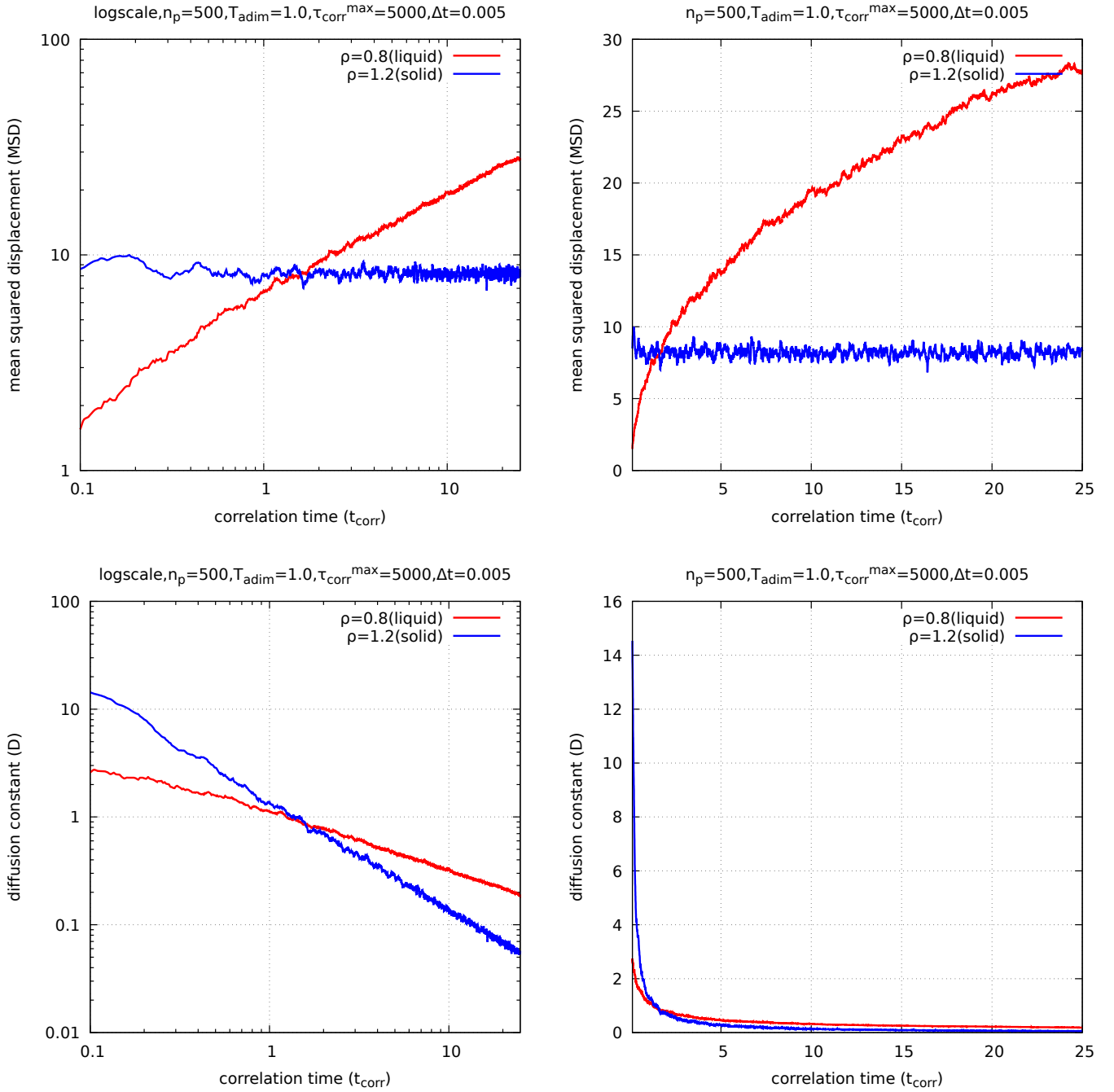


Fig. 12. MSD y coeficiente de difusión vs tiempo de correlación

$T_{adim} = 1$. Además, para estudiar la transición de fase se varió la densidad en el rango crítico entre $\rho_{min} = 0.8$ y $\rho_{max} = 1.2$. Los resultados obtenidos se muestran en la figura 13 donde se observan la presión total adimensional (P) (incluyendo presión osmótica y presión del gas ideal), factor de estructura estático ($S(k)$), coeficiente de difusión (D) y desplazamiento cuadrático medio (MSD), todas estas propiedades en función de la densidad adimensional del sistema. Se pueden observar cambios de curvatura en cada una de las propiedades en los puntos críticos de densidades $\rho_1 = 0.8889$ y $\rho_2 = 0.9333$, lo cual evidencia una transición de fase de sólido-líquido, para valores de densidad mayores a ρ_2 tendremos fase sólida y para valores de densidad menores a ρ_1 tendremos fase líquida. Para apreciar aún más estas curvaturas, se realizaron gráficas de estas funciones respuesta en la zona de interés (ver figura 14). Quizás, para

mayor claridad y caracterización de la transición se podrían graficar isotermas parametrizando las funciones respuesta en función de la temperatura, además, se podría estudiar el comportamiento de la dimensión del sistema (número de partículas) en el resultado.

El código principal para el estudio de la transición de fase corresponde a **molecular_dynamic_lennard_jones_06.f90**

III. CÓDIGOS

Repositorio de GitHub

- <https://github.com/mendzmartin/fiscomp2022.git>

Repositorio GitHub del problema

■ Problema 1

- <https://github.com/mendzmartin/fiscomp2022/tree/main/lab05/prob01>

■ Problema 2

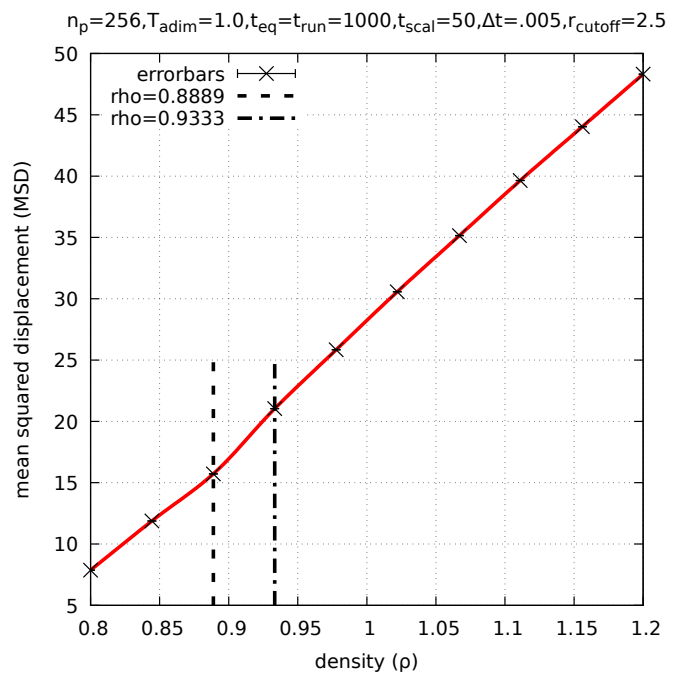
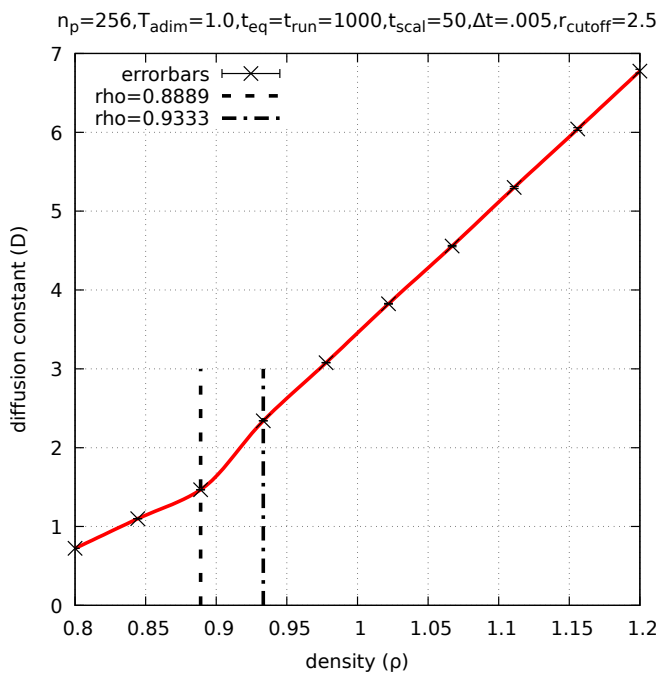
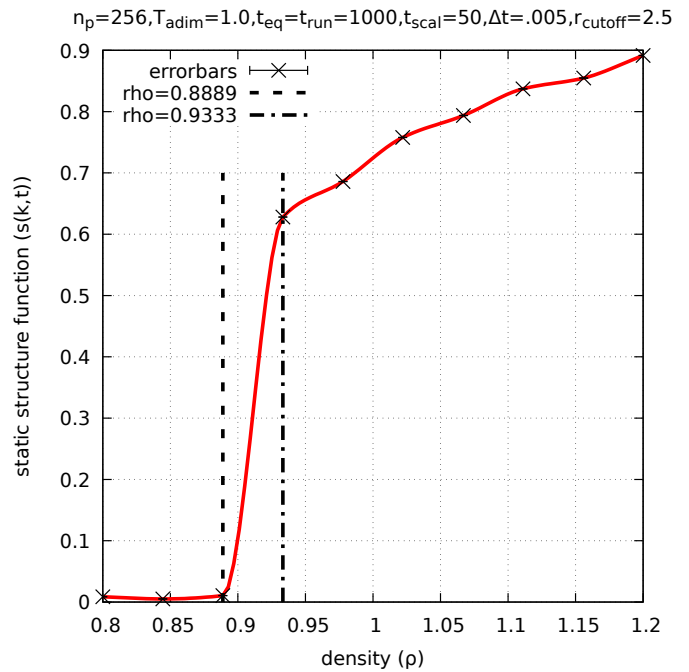
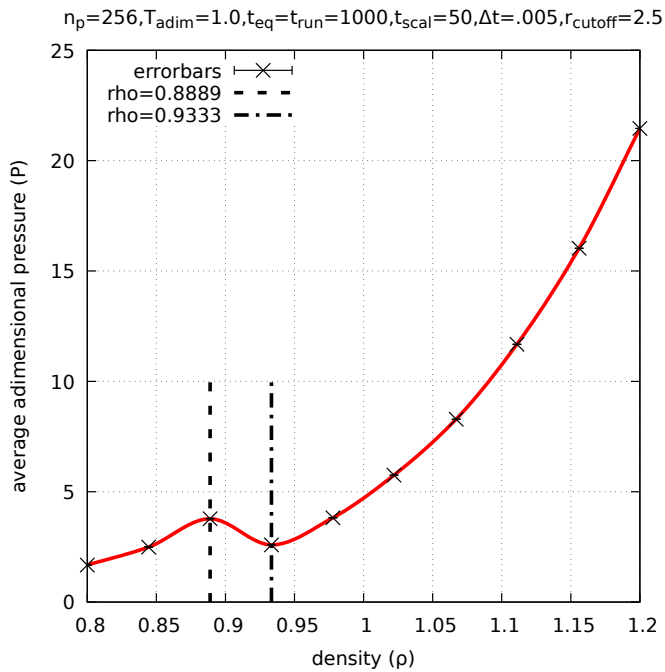


Fig. 13. Presión, factor de estructura estático, coeficiente de difusión y MSD vs densidad

- <https://github.com/mendzmartin/fiscomp2022/tree/main/lab05/prob02>
- **Problema 3**
- <https://github.com/mendzmartin/fiscomp2022/tree/main/lab05/prob03>

Códigos principales y Makefile

- **Problema 1**
- https://github.com/mendzmartin/fiscomp2022/blob/main/lab05/prob01/code/molecular_dynamic_lennard_jones_01.f90
- https://github.com/mendzmartin/fiscomp2022/blob/main/lab05/prob01/code/molecular_dynamic_lennard_jones_02.f90
- https://github.com/mendzmartin/fiscomp2022/blob/main/lab05/prob01/code/molecular_dynamic_lennard_jones_03.f90

- https://github.com/mendzmartin/fiscomp2022/blob/main/lab05/prob01/code/molecular_dynamic_lennard_jones_04.f90
- https://github.com/mendzmartin/fiscomp2022/blob/main/lab05/prob01/code/molecular_dynamic_lennard_jones_05.f90
- https://github.com/mendzmartin/fiscomp2022/blob/main/lab05/prob01/code/molecular_dynamic_lennard_jones_06.f90
- <https://github.com/mendzmartin/fiscomp2022/blob/main/lab05/prob01/code/Makefile>
- **Problema 2**
- https://github.com/mendzmartin/fiscomp2022/blob/main/lab05/prob02/code/md_lj_canonical_ensemble_01.f90
- https://github.com/mendzmartin/fiscomp2022/blob/main/lab05/prob02/code/md_lj_canonical_ensemble_02.f90

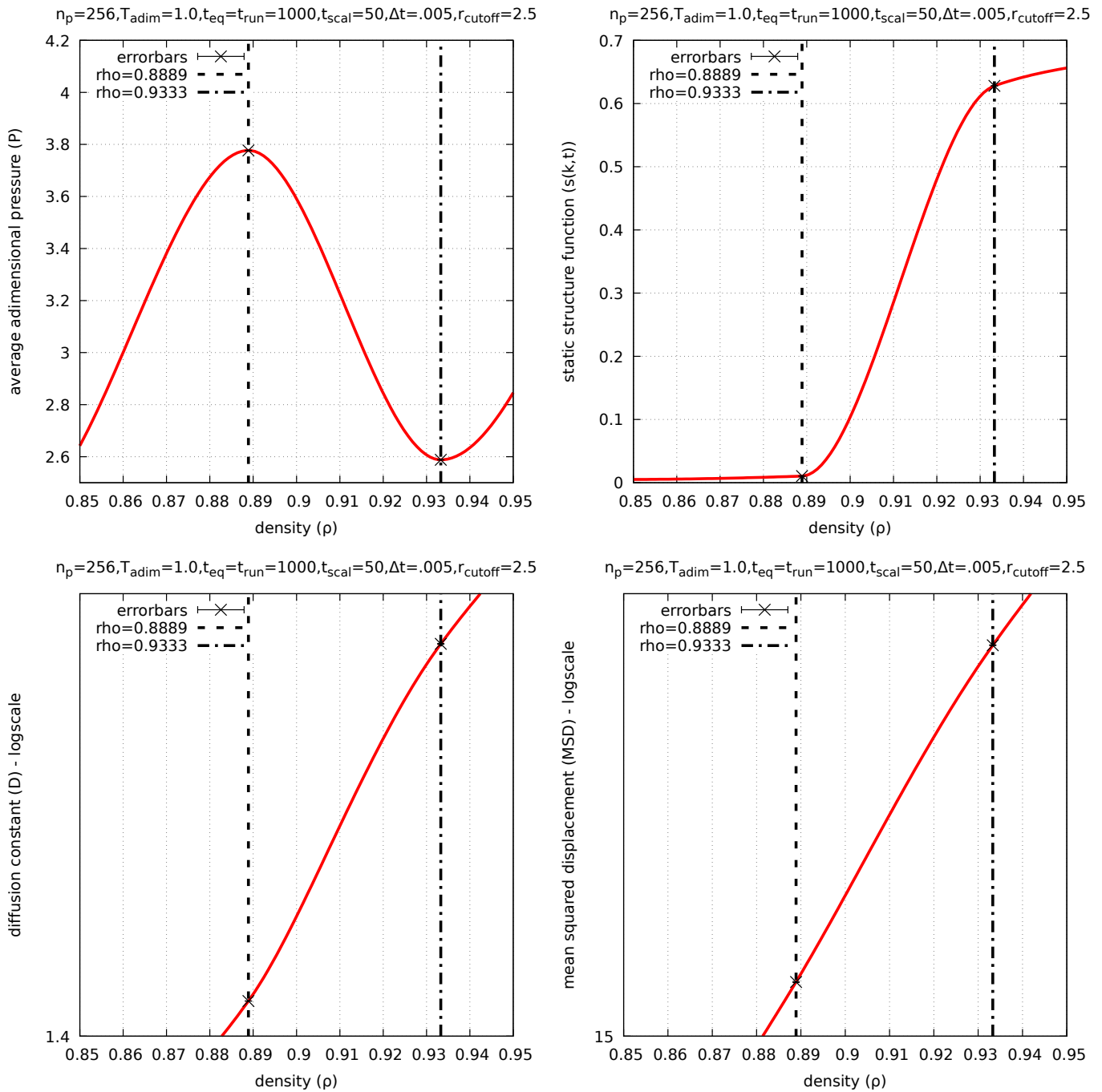
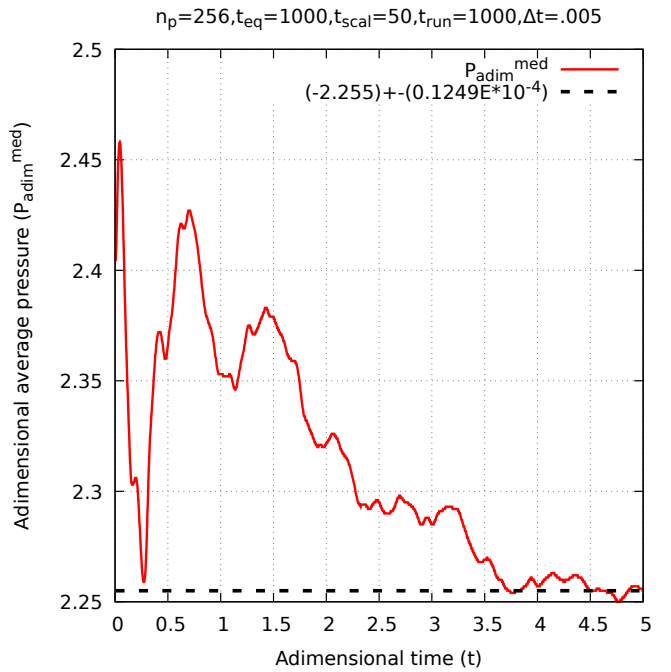
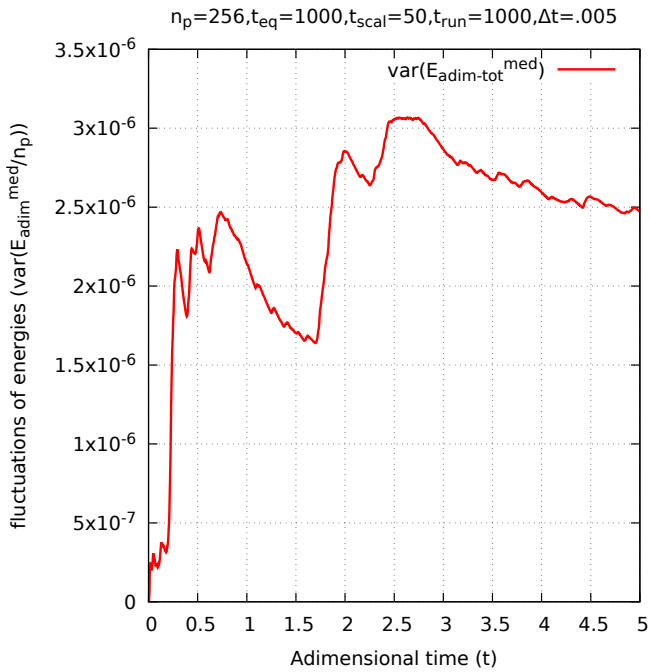
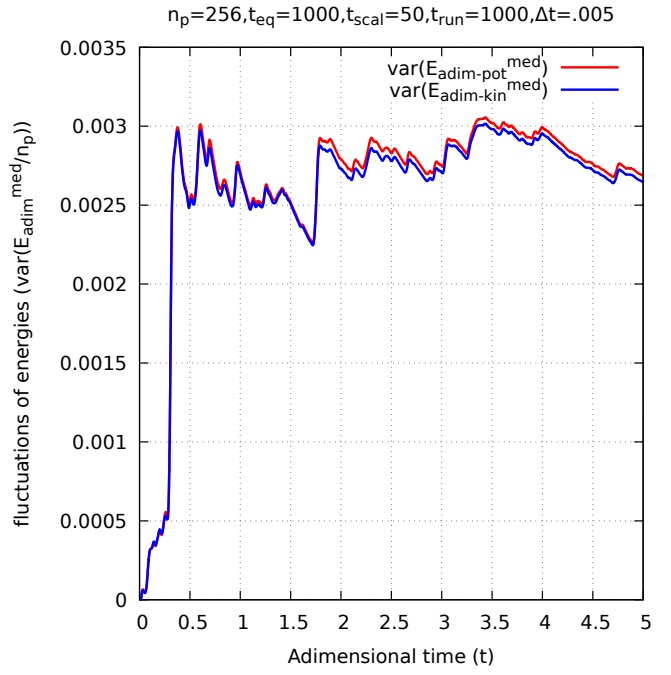
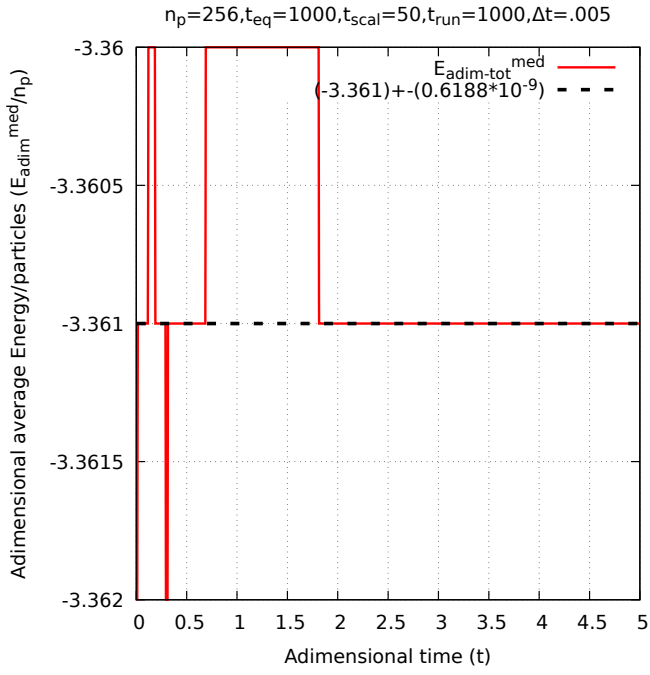
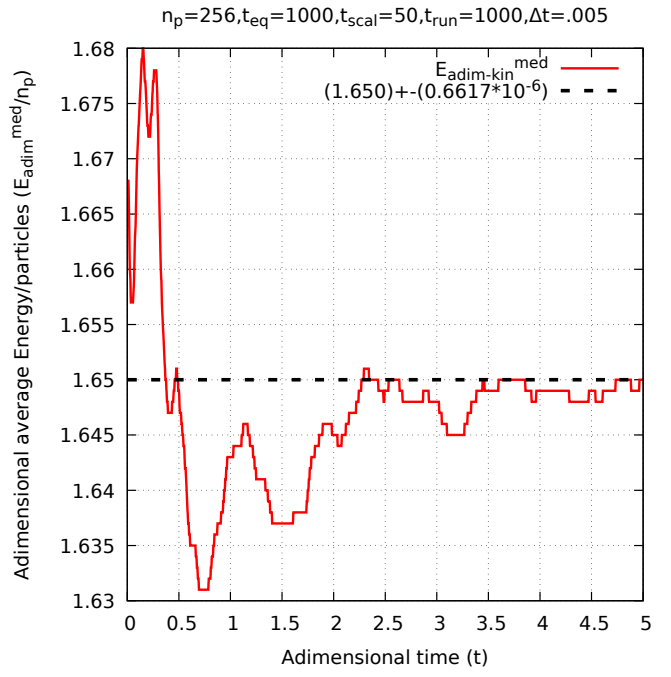
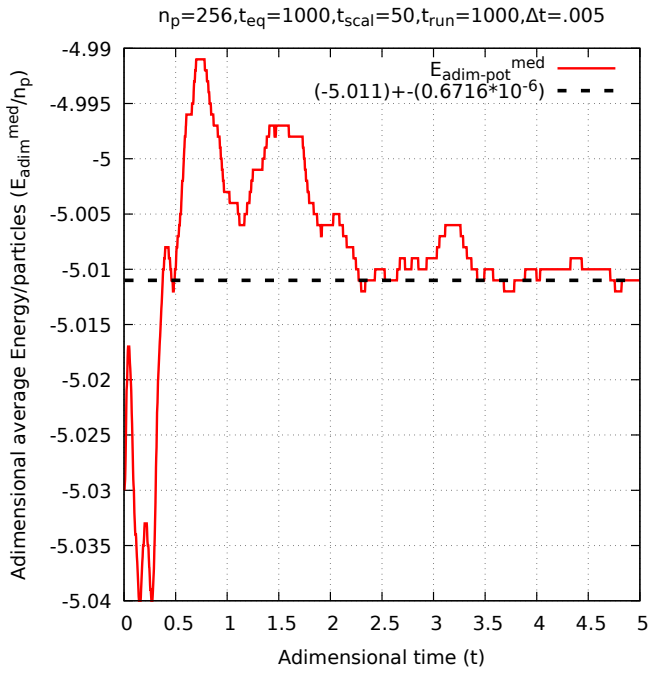


Fig. 14. Presión, factor de estructura estático, coeficiente de difusión y MSD vs densidad - ZOOM

- https://github.com/mendzmartin/fiscomp2022/blob/main/lab05/prob02/code/md_lj_canonical_ensamble_03.f90
- <https://github.com/mendzmartin/fiscomp2022/blob/main/lab05/prob02/code/Makefile>
- **Problema 3**
- https://github.com/mendzmartin/fiscomp2022/blob/main/lab05/prob03/code/md_lj_order_transition_01.f90
- <https://github.com/mendzmartin/fiscomp2022/blob/main/lab05/prob03/code/Makefile>
- **Video de dinámica molecular**
- <https://github.com/mendzmartin/fiscomp2022/blob/main/lab05/prob01/plots/movie.mp4>



$n_p=256, t_{eq}=1000, t_{scal}=50, t_{run}=1000, \Delta t=.005$

$n_p=256, t_{eq}=1000, t_{scal}=50, t_{run}=1000, \Delta t=.005$

Laboratorio 05 - Problema 01 - Códigos

molecular_dynamic_lennard_jones_01.f90

```

1  ! make clean && make molecular_dynamic_lennard_jones_01.o && ./molecular_dynamic_lennard_jones_01.o
2  program molecular_dynamic_lennard_jones_01
3      use module_precision; use module_md_lennard_jones
4      implicit none
5      integer(sp), parameter :: n_p=256_sp                ! cantidad de partículas
6      real(dp), parameter :: delta_time=0.005_dp          ! paso temporal
7      integer(sp), parameter :: time_eq=1000_sp,time_scal=50_sp,&    ! pasos de equilibración y de escalado de veloc.
8      time_run=1000_sp                                     ! pasos de evolución en el estado estacionario
9      real(dp), parameter :: T_adim_ref=1.1_dp            ! temperatura de referencia adimensional
10     real(dp), parameter :: density=0.8_dp               ! densidad (partículas/volumen)
11     real(dp), parameter :: r_cutoff=2.5_dp,mass=1_dp     ! radio de corte de interacciones y masa
12     real(dp), allocatable :: x_vector(:),y_vector(:),z_vector(:) ! componentes de las posiciones/partícula
13     real(dp), allocatable :: vx_vector(:),vy_vector(:),vz_vector(:) ! componentes de la velocidad/partícula
14     real(dp), allocatable :: force_x(:),force_y(:),force_z(:) ! componentes de la fuerza/partícula
15     integer(sp) :: i,istat,index                         ! loop index
16     real(dp) :: U_adim,Ec_adim,time,press,v_mc,T_adim    ! observables
17     real(dp) :: vx_mc,vy_mc,vz_mc                       ! componentes de la velocidad del centro de masas
18     real(dp) :: time_end,time_start                     ! tiempos de CPU
19     logical :: movie_switch,fcc_init_switch,&
20     T_adim_trans_switch,energies_switch
21
22     movie_switch =.false. ! escribir película con partículas en la caja
23     fcc_init_switch =.false. ! escribir estructura fcc inicial
24     T_adim_trans_switch =.false. ! escribir temperatura en el estado transitorio
25     energies_switch =.true. ! escribir energías en el estado estacionario
26
27     call cpu_time(time_start)
28     22 format(5(E12.4,x),E12.4); 23 format(5(A12,x),A12)
29
30     allocate(x_vector(n_p),y_vector(n_p),z_vector(n_p))
31     x_vector(:)=0._dp;y_vector(:)=0._dp;z_vector(:)=0._dp
32
33     ! generamos configuración inicial (FCC structure)
34     call initial_lattice_configuration(n_p,density,x_vector,y_vector,z_vector,2)
35
36     ! ESCRIBIMOS DATOS
37     if (fcc_init_switch.eqv..true.) then
38         open(90,file='../results/fcc.dat',status='replace',action='write',iostat=istat)
39         if (istat/=0) write(*,*) 'ERROR! istat(90file) = ',istat
40         write(90,"(2(A12,x),A12)") 'rx_fcc','ry_fcc','rz_fcc'
41         do i=1,n_p;write(90,"(2(E12.4,x),E12.4)") x_vector(i),y_vector(i),z_vector(i);end do;close(90)
42     else if (movie_switch.eqv..true.) then
43         index=10;call create_movie(index,x_vector,y_vector,z_vector,n_p)
44     end if
45
46     allocate(vx_vector(n_p),vy_vector(n_p),vz_vector(n_p))
47     vx_vector(:)=0._dp;vy_vector(:)=0._dp;vz_vector(:)=0._dp
48     call md_initial_parameters(n_p,x_vector,y_vector,z_vector,&
49     vx_vector,vy_vector,vz_vector,T_adim_ref,delta_time,density,mass)
50
51     ! computamos fuerzas en el tiempo inicial
52     allocate(force_x(n_p),force_y(n_p),force_z(n_p))
53     force_x(:)=0._dp;force_y(:)=0._dp;force_z(:)=0._dp
54     call f_lj_total(x_vector,y_vector,z_vector,r_cutoff,n_p,density,force_x,force_y,force_z)
55
56     ! ESCRIBIMOS DATOS
57     if (fcc_init_switch.eqv..true.) then
58         open(90,file='../results/init_force.dat',status='replace',action='write',iostat=istat)
59         if (istat/=0) write(*,*) 'ERROR! istat(90file) = ',istat
60         write(90,"(2(A12,x),A12)") 'fx','fy','fz'
61         do i=1,n_p;write(90,"(2(E12.4,x),E12.4)") force_x(i),force_y(i),force_z(i);end do;close(90)
62     else if (T_adim_trans_switch.eqv..true.) then
63         open(90,file='../results/T_adim_transitorio.dat',status='replace',action='write',iostat=istat)
64         if (istat/=0) write(*,*) 'ERROR! istat(90file) = ',istat
65         write(90,"(A12,x,A12)") 'time','T_adim'
66     end if
67
68     ! TRANSITORIO
69     do i=1,time_eq
70         write(*,*) i
71         if (mod(i,time_scal)==0_sp) call rescaling_velocities(n_p,vx_vector,vy_vector,vz_vector,T_adim_ref,mass)
72         call velocity_verlet(n_p,x_vector,y_vector,z_vector,&
73         vx_vector,vy_vector,vz_vector,delta_time,mass,r_cutoff,density,force_x,force_y,force_z)
74         ! velocity center of mass to zero
75         vx_mc=sum(vx_vector(:))*(1._dp/real(n_p,dp));vx_vector(:)=(vx_vector(:)-vx_mc)
76         vy_mc=sum(vy_vector(:))*(1._dp/real(n_p,dp));vy_vector(:)=(vy_vector(:)-vy_mc)
77         vz_mc=sum(vz_vector(:))*(1._dp/real(n_p,dp));vz_vector(:)=(vz_vector(:)-vz_mc)
78         T_adim=temperature(n_p,mass,vx_vector,vy_vector,vz_vector)
79         if (T_adim_trans_switch.eqv..true.) write(90,"(E12.4,x,E12.4)") real(i,dp)*delta_time,T_adim
80     end do
81     if (T_adim_trans_switch.eqv..true.) close(90)

```



```

82
83 ! ESTACIONARIO
84 time=0._dp
85
86 ! ESCRIBIMOS DATOS
87 if (energies_switch.eqv..true.) then
88   open(12,file='../results/result_03.dat',status='replace',action='write',iostat=istat)
89   write(*,*) 'istat(12file) = ',istat;write(12,23) 'time','pot_ergy','kin_ergy','v_mc','press','T_adim'
90 end if
91
92 U_adim=u_lj_total(n_p,x_vector,y_vector,z_vector,r_cutoff,density)
93 Ec_adim=kinetic_ergy_total(n_p,vx_vector,vy_vector,vz_vector,mass)
94 press=pressure(n_p,density,mass,r_cutoff,x_vector,y_vector,z_vector,&
95 vx_vector,vy_vector,vz_vector)
96 T_adim=temperature(n_p,mass,vx_vector,vy_vector,vz_vector)
97 v_mc=sqrt(vx_mc*vx_mc+vy_mc*vy_mc+vz_mc*vz_mc)
98
99 ! ESCRIBIMOS DATOS
100 if (energies_switch.eqv..true.) then
101   write(12,22) time,U_adim*(1._dp/real(n_p,dp)),Ec_adim*(1._dp/real(n_p,dp)),v_mc,press,T_adim
102 end if
103
104
105 do i=1,time_run
106   write(*,*) time_eq+i
107   call velocity_verlet(n_p,x_vector,y_vector,z_vector,&
108 vx_vector,vy_vector,vz_vector,delta_time,mass,r_cutoff,density,force_x,force_y,force_z)
109   ! velocity center of mass to zero
110   vx_mc=sum(vx_vector(:))*(1._dp/real(n_p,dp));vx_vector(:)=(vx_vector(:)-vx_mc)
111   vy_mc=sum(vy_vector(:))*(1._dp/real(n_p,dp));vy_vector(:)=(vy_vector(:)-vy_mc)
112   vz_mc=sum(vz_vector(:))*(1._dp/real(n_p,dp));vz_vector(:)=(vz_vector(:)-vz_mc)
113   U_adim=u_lj_total(n_p,x_vector,y_vector,z_vector,r_cutoff,density)
114   Ec_adim=kinetic_ergy_total(n_p,vx_vector,vy_vector,vz_vector,mass)
115   press=pressure(n_p,density,mass,r_cutoff,x_vector,y_vector,z_vector,&
116 vx_vector,vy_vector,vz_vector)
117   T_adim=temperature(n_p,mass,vx_vector,vy_vector,vz_vector)
118   v_mc=sqrt(vx_mc*vx_mc+vy_mc*vy_mc+vz_mc*vz_mc)
119   time=real(i,dp)*delta_time
120
121   ! ESCRIBIMOS DATOS
122   if (energies_switch.eqv..true.) then
123     write(12,22) time,U_adim*(1._dp/real(n_p,dp)),Ec_adim*(1._dp/real(n_p,dp)),v_mc,press,T_adim
124   else if ((movie_switch.eqv..true.)and.(mod(i,100)==0_sp)) then
125     index=index+1;call create_movie(index,x_vector,y_vector,z_vector,n_p)
126   end if
127 end do
128 if (energies_switch.eqv..true.) close(12)
129
130 deallocate(x_vector,y_vector,z_vector)
131 deallocate(vx_vector,vy_vector,vz_vector)
132 deallocate(force_x,force_y,force_z)
133
134 call cpu_time(time_end)
135 write(*,*) 'elapsed time = ',time_end-time_start,'[s]'
136 end program molecular_dynamic_lennard_jones_01
137
138 ! subrutina para crear película de partículas en la caja
139 subroutine create_movie(index,x_vector,y_vector,z_vector,n_p)
140   use module_precision
141   implicit none
142   integer(sp), intent(in) :: index,n_p
143   real(dp), intent(in) :: x_vector(n_p),y_vector(n_p),z_vector(n_p)
144   character(len=24) :: file_name
145   character(len=2) :: index_str
146   integer(sp) :: i,istat
147   50 format(2(A12,x),A12);51 format(2(E12.4,x),E12.4)
148   write(index_str,'(I2)') index
149   file_name='../results/picture'//trim(index_str)//'.dat'
150   open(52,file=file_name,status='replace',action='write',iostat=istat)
151   if (istat/=0) write(*,*) 'ERROR! istat(52file) = ',istat
152   write(52,50) 'rx_fcc','ry_fcc','rz_fcc'
153   do i=1,n_p;write(52,51) x_vector(i),y_vector(i),z_vector(i);end do;close(52)
154 end subroutine create_movie

```

molecular_dynamic_lennard_jones_02.f90

```

1 ! make clean && make molecular_dynamic_lennard_jones_02.o && ./molecular_dynamic_lennard_jones_02.o
2 program molecular_dynamic_lennard_jones_02
3   use module_precision;use module_md_lennard_jones
4   implicit none
5   integer(sp), parameter :: n_p=256_sp ! cantidad de partículasa
6   real(dp), parameter :: delta_time=0.005_dp ! paso temporal
7   integer(sp), parameter :: time_eq=1000_sp,time_scal=50_sp,& ! pasos de equilibración y de escaneo de veloc.
8   time_run=1000_sp ! pasos de evolucion en el estado estacionario
9   real(dp), parameter :: T_adim_ref=1.1_dp ! temperatura de referencia adimensional
10  real(dp), parameter :: density=0.8_dp ! densidad (partículas/volumen)

```

```

11  real(dp),    parameter  :: r_cutoff=2.5_dp,mass=1._dp           ! radio de corte de interacciones y masa
12  real(dp),    allocatable :: x_vector(:),y_vector(:),z_vector(:) ! componentes de las posiciones/particula
13  real(dp),    allocatable :: vx_vector(:),vy_vector(:),vz_vector(:) ! componentes de la velocidad/particula
14  real(dp),    allocatable :: force_x(:),force_y(:),force_z(:)    ! componentes de la fuerza/particula
15  integer(sp)   :: i,j,istat,index                                ! loop index
16  real(dp)      :: U_adim,U_med,var_U,err_U
17  real(dp)      :: Ec_adim,Ec_med,var_Ec,err_Ec
18  real(dp)      :: Etot_adim,Etot_med,var_Etot,err_Etot
19  real(dp)      :: press,press_med,var_press,err_press
20  real(dp)      :: T_adim,T_med,var_T,err_T
21  real(dp)      :: s1_U,s2_U
22  real(dp)      :: s1_Ec,s2_Ec
23  real(dp)      :: s1_Etot,s2_Etot
24  real(dp)      :: s1_press,s2_press
25  real(dp)      :: s1_T,s2_T
26  real(dp)      :: vx_mc,vy_mc,vz_mc                             ! componentes de la velocidad del centro de masas
27  real(dp)      :: time_end,time_start                           ! tiempos de CPU
28
29  call cpu_time(time_start)
30
31  allocate(x_vector(n_p),y_vector(n_p),z_vector(n_p))
32  x_vector(:)=0._dp;y_vector(:)=0._dp;z_vector(:)=0._dp
33
34  ! generamos configuración inicial (FCC structure)
35  call initial_lattice_configuration(n_p,density,x_vector,y_vector,z_vector,2)
36
37  allocate(vx_vector(n_p),vy_vector(n_p),vz_vector(n_p))
38  vx_vector(:)=0._dp;vy_vector(:)=0._dp;vz_vector(:)=0._dp
39  call md_initial_parameters(n_p,x_vector,y_vector,z_vector,&
40  vx_vector,vy_vector,vz_vector,T_adim_ref,delta_time,density,mass)
41
42  ! computamos fuerzas en el tiempo inicial
43  allocate(force_x(n_p),force_y(n_p),force_z(n_p))
44  force_x(:)=0._dp;force_y(:)=0._dp;force_z(:)=0._dp
45  call f_lj_total(x_vector,y_vector,z_vector,r_cutoff,n_p,density,force_x,force_y,force_z)
46
47
48  index=0
49  ! TRANSITORIO
50  do i=1,time_eq
51    index=index+1
52    write(*,*) 'paso temporal =',index,' de',time_eq+time_run
53    if (mod(i,time_scal)==0_sp) call rescaling_velocities(n_p,vx_vector,vy_vector,vz_vector,T_adim_ref,mass)
54    call velocity_verlet(n_p,x_vector,y_vector,z_vector,&
55    vx_vector,vy_vector,vz_vector,delta_time,mass,r_cutoff,density,force_x,force_y,force_z)
56    ! velocity center of mass to zero
57    vx_mc=sum(vx_vector(:))*(1._dp/real(n_p,dp));vx_vector(:)=(vx_vector(:)-vx_mc)
58    vy_mc=sum(vy_vector(:))*(1._dp/real(n_p,dp));vy_vector(:)=(vy_vector(:)-vy_mc)
59    vz_mc=sum(vz_vector(:))*(1._dp/real(n_p,dp));vz_vector(:)=(vz_vector(:)-vz_mc)
60    T_adim=temperature(n_p,mass,vx_vector,vy_vector,vz_vector)
61  end do
62
63  write(*,*) 'termino el transitorio'
64
65  ! ESTACIONARIO
66  open(10,file='../results/fluctuations.dat',status='replace',action='write',iostat=istat)
67  if (istat/=0) write(*,*) 'ERROR! istat(10file) = ',istat
68  11 format(9(E12.4,x),E12.4);12 format(9(A12,x),A12)
69  write(10,12) 'U_med','err_U','Ec_med','err_Ec','Etot_med','err_Etot','press_med','err_press','T_med','err_T'
70
71  open(20,file='../results/fluctuations_vs_time.dat',status='replace',action='write',iostat=istat)
72  if (istat/=0) write(*,*) 'ERROR! istat(11file) = ',istat
73  21 format(10(E12.4,x),E12.4);22 format(10(A12,x),A12)
74  write(20,22) 'time','U_med','var_U','Ec_med','var_Ec','Etot_med','var_Etot','press_med','var_press','T_med','var_T'
75
76  U_med=0._dp
77  Ec_med=0._dp
78  Etot_med=0._dp
79  press_med=0._dp
80  T_med=0._dp
81
82  s1_U=0._dp;s2_U=0._dp
83  s1_Ec=0._dp;s2_Ec=0._dp
84  s1_Etot=0._dp;s2_Etot=0._dp
85  s1_press=0._dp;s2_press=0._dp
86  s1_T=0._dp;s2_T=0._dp
87
88  do i=1,time_run
89    index=index+1
90    write(*,*) 'paso temporal =',index,' de',time_eq+time_run
91    call velocity_verlet(n_p,x_vector,y_vector,z_vector,&
92    vx_vector,vy_vector,vz_vector,delta_time,mass,r_cutoff,density,force_x,force_y,force_z)
93
94    U_adim=u_lj_total(n_p,x_vector,y_vector,z_vector,r_cutoff,density)
95    Ec_adim=kinetic_ergy_total(n_p,vx_vector,vy_vector,vz_vector,mass)
96    Etot_adim=(U_adim+Ec_adim)*(1._dp/real(n_p,dp))
97    press=pressure(n_p,density,mass,r_cutoff,x_vector,y_vector,z_vector,&

```

```

98     vx_vector,vy_vector,vz_vector)
99     T_adim=temperature(n_p,mass,vx_vector,vy_vector,vz_vector)
100
101     ! computamos 1er y 2do momento
102     s1_U=s1_U+U_adim*(1._dp/real(n_p,dp)); s2_U=s2_U+U_adim*U_adim*(1._dp/real(n_p*n_p,dp))
103     s1_Ec=s1_Ec+Ec_adim*(1._dp/real(n_p,dp)); s2_Ec=s2_Ec+Ec_adim*Ec_adim*(1._dp/real(n_p*n_p,dp))
104     s1_Etot=s1_Etot+Etot_adim; s2_Etot=s2_Etot+Etot_adim*Etot_adim
105     s1_press=s1_press+press; s2_press=s2_press+press*press
106     s1_T=s1_T+T_adim; s2_T=s2_T+T_adim*T_adim
107
108     ! computamos valores medios (mejor a mayor paso evolucionado)
109     U_med=s1_U*(1._dp/real(i,dp))
110     Ec_med=s1_Ec*(1._dp/real(i,dp))
111     Etot_med=s1_Etot*(1._dp/real(i,dp))
112     press_med=s1_press*(1._dp/real(i,dp))
113     T_med=s1_T*(1._dp/real(i,dp))
114
115     ! computamos varianzas (mejor a mayor paso evolucionado)
116     var_U=(real(i,dp)*s2_U-s1_U*s1_U)*(1._dp/real(i*i,dp))
117     var_Ec=(real(i,dp)*s2_Ec-s1_Ec*s1_Ec)*(1._dp/real(i*i,dp))
118     var_Etot=(real(i,dp)*s2_Etot-s1_Etot*s1_Etot)*(1._dp/real(i*i,dp))
119     var_press=(real(i,dp)*s2_press-s1_press*s1_press)*(1._dp/real(i*i,dp))
120     var_T=(real(i,dp)*s2_T-s1_T*s1_T)*(1._dp/real(i*i,dp))
121
122     write(20,21) delta_time*real(i,dp),U_med,var_U,Ec_med,var_Ec,Etot_med,var_Etot,press_med,var_press,T_med,var_T
123 end do
124 close(20)
125
126 write(*,*) 'termino el estacionario'
127
128 ! computamos errores en el último paso
129 err_U=(var_U*0.25_dp)*(1._dp/real(time_eq-1,dp))
130 err_Ec=(var_Ec*0.25_dp)*(1._dp/real(time_eq-1,dp))
131 err_Etot=(var_Etot*0.25_dp)*(1._dp/real(time_eq-1,dp))
132 err_press=(var_press*0.25_dp)*(1._dp/real(time_eq-1,dp))
133 err_T=(var_T*0.25_dp)*(1._dp/real(time_eq-1,dp))
134
135 write(10,11) U_med,err_U,Ec_med,err_Ec,Etot_med,err_Etot,press_med,err_press,T_med,err_T
136 close(10)
137
138 deallocate(x_vector,y_vector,z_vector)
139 deallocate(vx_vector,vy_vector,vz_vector)
140 deallocate(force_x,force_y,force_z)
141
142 call cpu_time(time_end)
143 write(*,*) 'elapsed time = ',time_end-time_start,'[s]'
144 end program molecular_dynamic_lennard_jones_02

```

molecular_dynamic_lennard_jones_03.f90

```

1  ! Inciso c)
2  ! make clean && make molecular_dynamic_lennard_jones_03.o && ./molecular_dynamic_lennard_jones_03.o
3  program molecular_dynamic_lennard_jones_03
4      use module_precision; use module_md_lennard_jones
5      implicit none
6      integer(sp), parameter :: n_p=256_sp                ! cantidad de partículas
7      real(dp), parameter :: delta_time=0.005_dp          ! paso temporal
8      integer(sp), parameter :: time_eq=1000_sp,time_scal=50_sp ! pasos de equilibración y de escaleo de veloc.
9      real(dp), parameter :: T_adim_ref=1.1_dp            ! temperatura de referencia adimensional
10     real(dp), parameter :: density=0.8_dp                ! densidad (partículas/volumen)
11     real(dp), parameter :: r_cutoff=2.5_dp,mass=1._dp    ! radio de corte de interacciones, masa
12     real(dp), allocatable :: x_vector(:),y_vector(:),z_vector(:) ! componentes de las posiciones/partícula
13     real(dp), allocatable :: vx_vector(:),vy_vector(:),vz_vector(:) ! componentes de la velocidad/partícula
14     real(dp), allocatable :: vtot_vector(:)
15     real(dp), allocatable :: force_x(:),force_y(:),force_z(:) ! componentes de la fuerza/partícula
16     integer(sp) :: i,index,istat                          ! loop index
17     real(dp) :: T_adim
18     real(dp) :: vx_mc,vy_mc,vz_mc                        ! componentes de la velocidad del centro de masas
19     real(dp) :: time_end,time_start                      ! tiempos de CPU
20
21     real(dp), allocatable :: probability_vx(:),probability_vy(:),&
22     probability_vz(:),probability_vtot(:)
23     real(dp), allocatable :: exact_probability_vx(:),exact_probability_vy(:),&
24     exact_probability_vz(:),exact_probability_vtot(:)
25     real(dp), allocatable :: variable_vx(:),variable_vy(:),&
26     variable_vz(:),variable_vtot(:)
27     integer(sp) :: n_bins ! numbers of bins
28
29     call cpu_time(time_start)
30
31     allocate(x_vector(n_p),y_vector(n_p),z_vector(n_p))
32     x_vector(:)=0._dp;y_vector(:)=0._dp;z_vector(:)=0._dp
33
34     ! generamos configuración inicial (FCC structure)
35     call initial_lattice_configuration(n_p,density,x_vector,y_vector,z_vector,2)
36

```

```

37 allocate(vx_vector(n_p),vy_vector(n_p),vz_vector(n_p))
38 vx_vector(:)=0._dp;vy_vector(:)=0._dp;vz_vector(:)=0._dp
39 call md_initial_parameters(n_p,x_vector,y_vector,z_vector,&
40 vx_vector,vy_vector,vz_vector,T_adim_ref,delta_time,density,mass)
41
42 ! computamos fuerzas en el tiempo inicial
43 allocate(force_x(n_p),force_y(n_p),force_z(n_p))
44 force_x(:)=0._dp;force_y(:)=0._dp;force_z(:)=0._dp
45 call f_lj_total(x_vector,y_vector,z_vector,r_cutoff,n_p,density,force_x,force_y,force_z)
46
47 index=0
48 ! TRANSITORIO
49 do i=1,time_eq
50     index=index+1
51     write(*,*) 'paso temporal =' ,index, ' de',time_eq
52     if (mod(i,time_scal)==0_sp) call rescaling_velocities(n_p,vx_vector,vy_vector,vz_vector,T_adim_ref,mass)
53     call velocity_verlet(n_p,x_vector,y_vector,z_vector,&
54 vx_vector,vy_vector,vz_vector,delta_time,mass,r_cutoff,density,force_x,force_y,force_z)
55     ! velocity center of mass to zero
56 vx_mc=sum(vx_vector(:))*(1._dp/real(n_p,dp));vx_vector(:)=(vx_vector(:)-vx_mc)
57 vy_mc=sum(vy_vector(:))*(1._dp/real(n_p,dp));vy_vector(:)=(vy_vector(:)-vy_mc)
58 vz_mc=sum(vz_vector(:))*(1._dp/real(n_p,dp));vz_vector(:)=(vz_vector(:)-vz_mc)
59 T_adim=temperature(n_p,mass,vx_vector,vy_vector,vz_vector)
60 end do
61
62 deallocate(x_vector,y_vector,z_vector)
63 deallocate(force_x,force_y,force_z)
64
65 ! computamos distribuciones exactas de velocidad (Maxwell-Boltzmann y Gauss)
66 allocate(vtot_vector(n_p));vtot_vector(:)=0._dp
67 allocate(exact_probability_vx(n_p),exact_probability_vy(n_p),exact_probability_vz(n_p))
68 allocate(exact_probability_vtot(n_p))
69 open(10,file='../results/exact_velocities_distributions.dat',status='replace',action='write',iostat=istat)
70 if (istat/=0) write(*,*) 'ERROR! istat(11file) = ',istat
71 24 format(7(E12.4,x),E12.4);25 format(7(A12,x),A12)
72 write(10,25) 'vx','p(vx)','vy','p(vy)','vz','p(vz)','v_tot','p(vtot)'
73 do i=1,n_p
74     exact_probability_vx(i)=sqrt(mass*0.125_dp*(1._dp/atan(1._dp))*(1._dp/T_adim_ref))*&
75     exp(-mass*vx_vector(i)*vx_vector(i)*0.5_dp*(1._dp/T_adim_ref))
76
77     exact_probability_vy(i)=sqrt(mass*0.125_dp*(1._dp/atan(1._dp))*(1._dp/T_adim_ref))*&
78     exp(-mass*vy_vector(i)*vy_vector(i)*0.5_dp*(1._dp/T_adim_ref))
79
80     exact_probability_vz(i)=sqrt(mass*0.125_dp*(1._dp/atan(1._dp))*(1._dp/T_adim_ref))*&
81     exp(-mass*vz_vector(i)*vz_vector(i)*0.5_dp*(1._dp/T_adim_ref))
82
83     vtot_vector(i)=sqrt(vx_vector(i)*vx_vector(i)+vy_vector(i)*vy_vector(i)+vz_vector(i)*vz_vector(i))
84
85     exact_probability_vtot(i)=sqrt(0.5_dp*(1._dp/atan(1._dp))*(mass*(1._dp/T_adim_ref))**3)*&
86     vtot_vector(i)*vtot_vector(i)*exp(-mass*vtot_vector(i)*vtot_vector(i)*0.5_dp*(1._dp/T_adim_ref))
87
88     write(10,24) vx_vector(i),exact_probability_vx(i),vy_vector(i),exact_probability_vy(i),&
89 vz_vector(i),exact_probability_vz(i),vtot_vector(i),exact_probability_vtot(i)
90 end do
91 deallocate(exact_probability_vx,exact_probability_vy,exact_probability_vz)
92 deallocate(exact_probability_vtot)
93 close(10)
94
95 ! hacemos histogramas de las componentes de la velocidad
96 n_bins=50
97 allocate(probability_vx(n_bins),variable_vx(n_bins+1))
98 call histogram(vx_vector,n_p,variable_vx,probability_vx,n_bins)
99
100 allocate(probability_vy(n_bins),variable_vy(n_bins+1))
101 call histogram(vy_vector,n_p,variable_vy,probability_vy,n_bins)
102
103 allocate(probability_vz(n_bins),variable_vz(n_bins+1))
104 call histogram(vz_vector,n_p,variable_vz,probability_vz,n_bins)
105
106 open(10,file='../results/components_velocities_histogram.dat',status='replace',action='write',iostat=istat)
107 if (istat/=0) write(*,*) 'ERROR! istat(11file) = ',istat
108 20 format(5(E12.4,x),E12.4);21 format(5(A12,x),A12)
109 write(10,21) 'vx','p(vx)','vy','p(vy)','vz','p(vz)'
110 do i = 1,n_bins
111     write(10,20) variable_vx(i),probability_vx(i)*(1._dp/(variable_vx(i+1)-variable_vx(i))),&
112 variable_vy(i),probability_vy(i)*(1._dp/(variable_vy(i+1)-variable_vy(i))),&
113 variable_vz(i),probability_vz(i)*(1._dp/(variable_vz(i+1)-variable_vz(i)))
114     ! write(10,20) variable_vx(i),probability_vx(i),&
115     ! variable_vy(i),probability_vy(i),&
116     ! variable_vz(i),probability_vz(i)
117 end do
118 deallocate(vx_vector,vy_vector,vz_vector)
119 deallocate(probability_vx,variable_vx)
120 deallocate(probability_vy,variable_vy)
121 deallocate(probability_vz,variable_vz)
122
123 ! hacemos histograma de la velocidad total

```

```

124 n_bins=50
125 allocate(probability_vtot(n_bins),variable_vtot(n_bins+1))
126 call histogram(vtot_vector,n_p,variable_vtot,probability_vtot,n_bins)
127
128 open(11,file='../results/total_velocities_histogram.dat',status='replace',action='write',iostat=istat)
129 if (istat/=0) write(*,*) 'ERROR! istat(11file) = ',istat
130 22 format(E12.4,x,E12.4);23 format(A12,x,A12)
131 write(11,23) 'vtot','p(vtot)'
132 do i = 1,n_bins
133     write(11,22) variable_vtot(i),probability_vtot(i)*(1._dp/(variable_vtot(i+1)-variable_vtot(i)))
134 end do
135 close(11)
136 deallocate(vtot_vector)
137 deallocate(probability_vtot,variable_vtot)
138
139 call cpu_time(time_end)
140 write(*,*) 'elapsed time = ',time_end-time_start,'[s]'
141 end program molecular_dynamic_lennard_jones_03
142
143 ! subrutina para crear e imprimir histograma
144 subroutine histogram(x_vector,x_dim,variable,probability,n_bins)
145     use module_precision
146     implicit none
147     integer(sp), intent(in) :: x_dim ! dimension
148     integer(sp), intent(in) :: n_bins
149     real(dp), intent(in) :: x_vector(x_dim) ! data to do histogram
150     real(dp), intent(inout) :: variable(n_bins+1),probability(n_bins)
151
152     integer(sp), allocatable :: counter(:) ! counter vector of bins
153     real(sp) :: max_value ! maximum counter value
154     real(dp) :: min_bin_point,max_bin_point
155     real(dp) :: bins_step ! step of points between bins
156     integer(sp) :: i,j ! loop and control variables
157
158     allocate(counter(n_bins))
159
160     ! armamos el vector de bins (o variable(:)) en el rango [x_min,x_max]
161     max_bin_point=maxval(x_vector(:));min_bin_point=minval(x_vector(:))
162     bins_step=abs(max_bin_point-min_bin_point)*(1._dp/n_bins)
163     do i=1,n_bins+1;variable(i)=min_bin_point+bins_step*real(i-1,dp);end do
164
165     ! llenamos el vector contador de bins
166     do i=1,n_bins
167         counter(i)=0
168         do j=1,x_dim
169             if ((variable(i)<=x_vector(j)).and.(variable(i+1)>=x_vector(j))) then
170                 counter(i)=counter(i)+1
171             endif
172         enddo;enddo
173
174     max_value=abs(real(maxval(counter(:)),dp))
175     if (max_value==0._dp) write(*,*) 'math error'
176
177     ! escribimos distribución de probabilidad
178     probability(:)=real(counter(:),dp)*(1._dp/max_value)
179
180     deallocate(counter)
181 end subroutine histogram

```

molecular_dynamic_lennard_jones_04.f90

```

1 ! make clean && make molecular_dynamic_lennard_jones_04.o && ./molecular_dynamic_lennard_jones_04.o
2 program molecular_dynamic_lennard_jones_04
3     use module_precision;use module_md_lennard_jones
4     implicit none
5     integer(sp), parameter :: n_p=256_sp ! cantidad de partículas
6     real(dp), parameter :: T_adim_ref=1.1_dp ! temperatura de referencia adimensional
7     real(dp), parameter :: density=0.8_dp ! densidad (partículas/volumen)
8     real(dp), parameter :: r_cutoff=2.5_dp,mass=1._dp ! radio de corte de interacciones y masa
9     real(dp), allocatable :: x_vector(:),y_vector(:),z_vector(:) ! componentes de las posiciones/partícula
10    real(dp), allocatable :: vx_vector(:),vy_vector(:),vz_vector(:) ! componentes de la velocidad/partícula
11    real(dp), allocatable :: force_x(:),force_y(:),force_z(:) ! componentes de la fuerza/partícula
12    integer(sp) :: time_eq,time_scal,& ! pasos de equilibración y de escalo de veloc.
13                time_run ! pasos de evolución en el estado estacionario
14    real(dp) :: delta_time ! paso temporal
15    integer(sp) :: i,j,istat,index ! loop index
16    real(dp) :: U_adim,U_med,var_U,err_U
17    real(dp) :: Ec_adim,Ec_med,var_Ec,err_Ec
18    real(dp) :: Etot_adim,Etot_med,var_Etot,err_Etot
19    real(dp) :: T_adim
20    real(dp) :: s1_U,s2_U
21    real(dp) :: s1_Ec,s2_Ec
22    real(dp) :: s1_Etot,s2_Etot
23    real(dp) :: vx_mc,vy_mc,vz_mc ! componentes de la velocidad del centro de masas
24    real(dp) :: time_end,time_start ! tiempos de CPU
25

```



```

26 call cpu_time(time_start)
27
28 allocate(x_vector(n_p),y_vector(n_p),z_vector(n_p))
29 x_vector(:)=0._dp;y_vector(:)=0._dp;z_vector(:)=0._dp
30
31 ! generamos configuración inicial (FCC structure)
32 call initial_lattice_configuration(n_p,density,x_vector,y_vector,z_vector,2)
33
34 allocate(vx_vector(n_p),vy_vector(n_p),vz_vector(n_p))
35 vx_vector(:)=0._dp;vy_vector(:)=0._dp;vz_vector(:)=0._dp
36 call md_initial_parameters(n_p,x_vector,y_vector,z_vector,&
37 vx_vector,vy_vector,vz_vector,T_adim_ref,delta_time,density,mass)
38
39 ! computamos fuerzas en el tiempo inicial
40 allocate(force_x(n_p),force_y(n_p),force_z(n_p))
41 force_x(:)=0._dp;force_y(:)=0._dp;force_z(:)=0._dp
42 call f_lj_total(x_vector,y_vector,z_vector,r_cutoff,n_p,density,force_x,force_y,force_z)
43
44
45 open(10,file='./results/engry_fluct_relations.dat',status='replace',action='write',iostat=istat)
46 if (istat/=0) write(*,*) 'ERROR! istat(10file) = ',istat
47 11 format(E12.4,x,E12.4);12 format(A12,x,A12)
48 write(10,12) 'delta_time','var_Etot/var_Ec'
49
50 delta_time=0.02_dp
51 do j=1,5
52     ! definimos los pasos temporales y pasos de MD
53     time_eq=5._dp*(1._dp/delta_time)
54     time_scal=0.25_dp*(1._dp/delta_time)
55     time_run=5._dp*(1._dp/delta_time)
56
57     index=0
58     ! TRANSITORIO
59     do i=1,time_eq
60         index=index+1
61         write(*,*) 'paso temporal =',index,' de',time_eq+time_run
62         if (mod(i,time_scal)==0_sp) call rescaling_velocities(n_p,vx_vector,vy_vector,vz_vector,T_adim_ref,mass)
63         call velocity_verlet(n_p,x_vector,y_vector,z_vector,&
64 vx_vector,vy_vector,vz_vector,delta_time,mass,r_cutoff,density,force_x,force_y,force_z)
65         ! velocity center of mass to zero
66         vx_mc=sum(vx_vector(:))*(1._dp/real(n_p,dp));vx_vector(:)=(vx_vector(:)-vx_mc)
67         vy_mc=sum(vy_vector(:))*(1._dp/real(n_p,dp));vy_vector(:)=(vy_vector(:)-vy_mc)
68         vz_mc=sum(vz_vector(:))*(1._dp/real(n_p,dp));vz_vector(:)=(vz_vector(:)-vz_mc)
69         T_adim=temperature(n_p,mass,vx_vector,vy_vector,vz_vector)
70     end do
71
72     write(*,*) 'termino el transitorio'
73
74     ! ESTACIONARIO
75     U_med=0._dp
76     Ec_med=0._dp
77     Etot_med=0._dp
78
79     s1_U=0._dp;s2_U=0._dp
80     s1_Ec=0._dp;s2_Ec=0._dp
81     s1_Etot=0._dp;s2_Etot=0._dp
82
83     do i=1,time_run
84         index=index+1
85         write(*,*) 'paso temporal =',index,' de',time_eq+time_run
86         call velocity_verlet(n_p,x_vector,y_vector,z_vector,&
87 vx_vector,vy_vector,vz_vector,delta_time,mass,r_cutoff,density,force_x,force_y,force_z)
88
89         U_adim=u_lj_total(n_p,x_vector,y_vector,z_vector,r_cutoff,density)
90         Ec_adim=kinetic_ergy_total(n_p,vx_vector,vy_vector,vz_vector,mass)
91         Etot_adim=(U_adim+Ec_adim)*(1._dp/real(n_p,dp))
92
93         ! computamos 1er y 2do momento
94         s1_U=s1_U+U_adim*(1._dp/real(n_p,dp));s2_U=s2_U+U_adim*U_adim*(1._dp/real(n_p*n_p,dp))
95         s1_Ec=s1_Ec+Ec_adim*(1._dp/real(n_p,dp));s2_Ec=s2_Ec+Ec_adim*Ec_adim*(1._dp/real(n_p*n_p,dp))
96         s1_Etot=s1_Etot+Etot_adim;s2_Etot=s2_Etot+Etot_adim*Etot_adim
97
98         ! computamos valores medios (mejor a mayor paso evolucionado)
99         U_med=s1_U*(1._dp/real(i,dp))
100        Ec_med=s1_Ec*(1._dp/real(i,dp))
101        Etot_med=s1_Etot*(1._dp/real(i,dp))
102
103        ! computamos varianzas (mejor a mayor paso evolucionado)
104        var_U=(real(i,dp)*s2_U-s1_U*s1_U)*(1._dp/real(i*i,dp))
105        var_Ec=(real(i,dp)*s2_Ec-s1_Ec*s1_Ec)*(1._dp/real(i*i,dp))
106        var_Etot=(real(i,dp)*s2_Etot-s1_Etot*s1_Etot)*(1._dp/real(i*i,dp))
107
108    end do
109
110    write(*,*) 'termino el estacionario'
111
112    ! computamos errores en el último paso

```

```

113     err_U=(var_U*0.25_dp)*(1._dp/real(time_eq-1,dp))
114     err_Ec=(var_Ec*0.25_dp)*(1._dp/real(time_eq-1,dp))
115     err_Etot=(var_Etot*0.25_dp)*(1._dp/real(time_eq-1,dp))
116
117     write(10,11) delta_time,var_Etot*(1._dp/var_Ec)
118
119     delta_time=delta_time*0.5_dp
120 end do
121
122 close(10)
123
124 deallocate(x_vector,y_vector,z_vector)
125 deallocate(vx_vector,vy_vector,vz_vector)
126 deallocate(force_x,force_y,force_z)
127
128 call cpu_time(time_end)
129 write(*,*) 'elapsed time = ',time_end-time_start,'[s]'
130 end program molecular_dynamic_lennard_jones_04

```

molecular_dynamic_lennard_jones_05.f90

```

1  ! Inciso f)
2  ! make clean && make molecular_dynamic_lennard_jones_05.o && ./molecular_dynamic_lennard_jones_05.o
3  program molecular_dynamic_lennard_jones_05
4      use module_precision; use module_md_lennard_jones
5      implicit none
6      integer(sp), parameter :: n_p=256_sp                ! cantidad de partículas
7      real(dp), parameter :: T_adim_ref=1.1_dp            ! temperatura de referencia adimensional
8      real(dp), parameter :: density=0.8_dp               ! densidad (partículas/volumen)
9      real(dp), parameter :: mass=1._dp                  ! masa
10     real(dp), allocatable :: x_vector(:),y_vector(:),z_vector(:) ! componentes de las posiciones/partícula
11     real(dp), allocatable :: vx_vector(:),vy_vector(:),vz_vector(:) ! componentes de la velocidad/partícula
12     real(dp), allocatable :: force_x(:),force_y(:),force_z(:) ! componentes de la fuerza/partícula
13     integer(sp) :: time_eq,time_scal,&                  ! pasos de equilibración y de escaneo de veloc.
14                   time_run                               ! pasos de evolución en el estado estacionario
15     real(dp) :: r_cutoff                                 ! radio de corte de interacciones
16     real(dp) :: delta_time                               ! paso temporal
17     integer(sp) :: i,j,istat,index                      ! loop index
18     real(dp) :: U_adim,U_med,var_U,err_U
19     real(dp) :: Ec_adim,Ec_med,var_Ec,err_Ec
20     real(dp) :: Etot_adim,Etot_med,var_Etot,err_Etot
21     real(dp) :: T_adim
22     real(dp) :: s1_U,s2_U
23     real(dp) :: s1_Ec,s2_Ec
24     real(dp) :: s1_Etot,s2_Etot
25     real(dp) :: vx_mc,vy_mc,vz_mc                      ! componentes de la velocidad del centro de masas
26     real(dp) :: time_end,time_start                    ! tiempos de CPU
27
28     call cpu_time(time_start)
29
30     allocate(x_vector(n_p),y_vector(n_p),z_vector(n_p))
31     x_vector(:)=0._dp;y_vector(:)=0._dp;z_vector(:)=0._dp
32
33     ! generamos configuración inicial (FCC structure)
34     call initial_lattice_configuration(n_p,density,x_vector,y_vector,z_vector,2)
35
36     allocate(vx_vector(n_p),vy_vector(n_p),vz_vector(n_p))
37     vx_vector(:)=0._dp;vy_vector(:)=0._dp;vz_vector(:)=0._dp
38     call md_initial_parameters(n_p,x_vector,y_vector,z_vector,&
39     vx_vector,vy_vector,vz_vector,T_adim_ref,delta_time,density,mass)
40
41     ! computamos fuerzas en el tiempo inicial
42     allocate(force_x(n_p),force_y(n_p),force_z(n_p))
43     force_x(:)=0._dp;force_y(:)=0._dp;force_z(:)=0._dp
44     call f_lj_total(x_vector,y_vector,z_vector,r_cutoff,n_p,density,force_x,force_y,force_z)
45
46
47     open(10,file='../results/engry_fluct_relations_vs_rcutoff.dat',status='replace',action='write',iostat=istat)
48     if (istat/=0) write(*,*) 'ERROR! istat(10file) = ',istat
49     11 format(E14.6,x,E14.6); 12 format(A14,x,A14)
50     write(10,12) 'r_{cutoff}','varEtot/varEc'
51
52     ! definimos pasos temporales pequeños
53     delta_time=0.005_dp
54     time_eq=5._dp*(1._dp/delta_time)
55     time_scal=0.25_dp*(1._dp/delta_time)
56     time_run=5._dp*(1._dp/delta_time)
57
58     r_cutoff=0._dp
59     do j=1,10
60
61         ! definimos r_cutoff en el rango [1;5]
62         r_cutoff=1.0_dp+(4._dp*(1._dp/9._dp)*real(j-1,dp))
63
64         index=0
65         ! TRANSITORIO

```

```

66     do i=1,time_eq
67         index=index+1
68         write(*,*) 'paso temporal =',index,' de',time_eq+time_run
69         if (mod(i,time_scal)==0_sp) call rescaling_velocities(n_p,vx_vector,vy_vector,vz_vector,T_adim_ref,mass)
70         call velocity_verlet(n_p,x_vector,y_vector,z_vector,&
71             vx_vector,vy_vector,vz_vector,delta_time,mass,r_cutoff,density,force_x,force_y,force_z)
72         ! velocity center of mass to zero
73         vx_mc=sum(vx_vector(:))*(1_dp/real(n_p,dp));vx_vector(:)=(vx_vector(:)-vx_mc)
74         vy_mc=sum(vy_vector(:))*(1_dp/real(n_p,dp));vy_vector(:)=(vy_vector(:)-vy_mc)
75         vz_mc=sum(vz_vector(:))*(1_dp/real(n_p,dp));vz_vector(:)=(vz_vector(:)-vz_mc)
76         T_adim=temperature(n_p,mass,vx_vector,vy_vector,vz_vector)
77     end do
78
79     write(*,*) 'termino el transitorio'
80
81     ! ESTACIONARIO
82     U_med=0._dp
83     Ec_med=0._dp
84     Etot_med=0._dp
85
86     s1_U=0._dp;s2_U=0._dp
87     s1_Ec=0._dp;s2_Ec=0._dp
88     s1_Etot=0._dp;s2_Etot=0._dp
89
90     do i=1,time_run
91         index=index+1
92         write(*,*) 'paso temporal =',index,' de',time_eq+time_run
93         call velocity_verlet(n_p,x_vector,y_vector,z_vector,&
94             vx_vector,vy_vector,vz_vector,delta_time,mass,r_cutoff,density,force_x,force_y,force_z)
95
96         U_adim=u_lj_total(n_p,x_vector,y_vector,z_vector,r_cutoff,density)
97         Ec_adim=kinetic_ergy_total(n_p,vx_vector,vy_vector,vz_vector,mass)
98         Etot_adim=(U_adim+Ec_adim)*(1_dp/real(n_p,dp))
99
100        ! computamos 1er y 2do momento
101        s1_U=s1_U+U_adim*(1_dp/real(n_p,dp));s2_U=s2_U+U_adim*U_adim*(1_dp/real(n_p*n_p,dp))
102        s1_Ec=s1_Ec+Ec_adim*(1_dp/real(n_p,dp));s2_Ec=s2_Ec+Ec_adim*Ec_adim*(1_dp/real(n_p*n_p,dp))
103        s1_Etot=s1_Etot+Etot_adim;s2_Etot=s2_Etot+Etot_adim*Etot_adim
104
105        ! computamos valores medios (mejor a mayor paso evolucionado)
106        U_med=s1_U*(1_dp/real(i,dp))
107        Ec_med=s1_Ec*(1_dp/real(i,dp))
108        Etot_med=s1_Etot*(1_dp/real(i,dp))
109
110        ! computamos varianzas (mejor a mayor paso evolucionado)
111        var_U=(real(i,dp)*s2_U-s1_U*s1_U)*(1_dp/real(i*i,dp))
112        var_Ec=(real(i,dp)*s2_Ec-s1_Ec*s1_Ec)*(1_dp/real(i*i,dp))
113        var_Etot=(real(i,dp)*s2_Etot-s1_Etot*s1_Etot)*(1_dp/real(i*i,dp))
114
115     end do
116
117     write(*,*) 'termino el estacionario'
118
119     ! computamos errores en el último paso
120     err_U=(var_U*0.25_dp)*(1_dp/real(time_eq-1,dp))
121     err_Ec=(var_Ec*0.25_dp)*(1_dp/real(time_eq-1,dp))
122     err_Etot=(var_Etot*0.25_dp)*(1_dp/real(time_eq-1,dp))
123
124     write(10,11) r_cutoff,var_Etot*(1_dp/var_Ec)
125 end do
126
127 close(10)
128
129 deallocate(x_vector,y_vector,z_vector)
130 deallocate(vx_vector,vy_vector,vz_vector)
131 deallocate(force_x,force_y,force_z)
132
133 call cpu_time(time_end)
134 write(*,*) 'elapsed time = ',time_end-time_start,'[s]'
135 end program molecular_dynamic_lennard_jones_05

```

molecular_dynamic_lennard_jones_06.f90

```

1  ! Inciso g)
2  ! make clean && make molecular_dynamic_lennard_jones_06.o && ./molecular_dynamic_lennard_jones_06.o
3  program molecular_dynamic_lennard_jones_06
4      use module_precision;use module_md_lennard_jones
5      implicit none
6      integer(sp), parameter :: nc_max=8_sp                                ! factor máximo paa definir número de partículas
7      integer(sp), parameter :: time_eq=1000_sp,time_scal=50_sp,&        ! pasos de equilibración y de escaneo de veloc.
8                                     time_run=10_sp                        ! pasos de evolucion en el estado estacionario
9      real(dp), parameter :: T_adim_ref=1.1_dp                            ! temperatura de referencia adimensional
10     real(dp), parameter :: density=0.8_dp                                ! densidad (particulas/volumen)
11     real(dp), parameter :: mass=1._dp                                    ! masa
12     real(dp), parameter :: delta_time=0.005_dp                          ! paso temporal
13     real(dp), allocatable :: x_vector(:),y_vector(:),z_vector(:)        ! componentes de las posiciones/particula

```

```

14  real(dp),    allocatable :: vx_vector(:),vy_vector(:),vz_vector(:) ! componentes de la velocidad/particula
15  real(dp),    allocatable :: force_x(:),force_y(:),force_z(:)      ! componentes de la fuerza/particula
16  integer(sp)   :: n_p                                             ! cantidad de partículas
17  integer(sp)   :: i,j,istat,index                                 ! loop index
18  real(dp)      :: r_cutoff,L                                     ! radio de corte de interacciones
19  real(dp)      :: T_adim                                          ! temperatura adimensional
20  real(dp)      :: vx_mc,vy_mc,vz_mc                             ! componentes de la velocidad del centro de masas
21  real(dp)      :: time_end,time_start                           ! tiempos de CPU
22
23  open(10,file='../results/num_particles_vs_cpu_time.dat',status='replace',action='write',iostat=istat)
24  if (istat/=0) write(*,*) 'ERROR! istat(10file) = ',istat
25  11 format(E12.4,x,I12);12 format(A12,x,A12)
26  write(10,12) 'CPU_time','n_p'
27
28  do j=1,nc_max
29      call cpu_time(time_start)
30      write(*,*) 'corrida=',j,' de ',nc_max
31      n_p=4_sp*j*j*j
32      L=(real(n_p,dp)*(1_dp/density))*((1_dp/3_dp))
33      r_cutoff=L*0.3_dp ! definimos r_cutoff < L/2
34
35      allocate(x_vector(n_p),y_vector(n_p),z_vector(n_p))
36      x_vector(:)=0._dp;y_vector(:)=0._dp;z_vector(:)=0._dp
37
38      ! generamos configuración inicial (FCC structure)
39      call initial_lattice_configuration(n_p,density,x_vector,y_vector,z_vector,2)
40
41      allocate(vx_vector(n_p),vy_vector(n_p),vz_vector(n_p))
42      vx_vector(:)=0._dp;vy_vector(:)=0._dp;vz_vector(:)=0._dp
43      call md_initial_parameters(n_p,x_vector,y_vector,z_vector,&
44      vx_vector,vy_vector,vz_vector,T_adim_ref,delta_time,density,mass)
45
46      ! computamos fuerzas en el tiempo inicial
47      allocate(force_x(n_p),force_y(n_p),force_z(n_p))
48      force_x(:)=0._dp;force_y(:)=0._dp;force_z(:)=0._dp
49      call f_lj_total(x_vector,y_vector,z_vector,r_cutoff,n_p,density,force_x,force_y,force_z)
50
51      index=0
52      ! TRANSITORIO
53      do i=1,time_eq
54          index=index+1
55          if (mod(i,time_scal)==0_sp) call rescaling_velocities(n_p,vx_vector,vy_vector,vz_vector,T_adim_ref,mass)
56          call velocity_verlet(n_p,x_vector,y_vector,z_vector,&
57          vx_vector,vy_vector,vz_vector,delta_time,mass,r_cutoff,density,force_x,force_y,force_z)
58          ! velocity center of mass to zero
59          vx_mc=sum(vx_vector(:))*(1_dp/real(n_p,dp));vx_vector(:)=(vx_vector(:)-vx_mc)
60          vy_mc=sum(vy_vector(:))*(1_dp/real(n_p,dp));vy_vector(:)=(vy_vector(:)-vy_mc)
61          vz_mc=sum(vz_vector(:))*(1_dp/real(n_p,dp));vz_vector(:)=(vz_vector(:)-vz_mc)
62          T_adim=temperature(n_p,mass,vx_vector,vy_vector,vz_vector)
63      end do
64
65      write(*,*) 'termino el transitorio'
66
67      ! ESTACIONARIO
68      do i=1,time_run
69          index=index+1
70          call velocity_verlet(n_p,x_vector,y_vector,z_vector,&
71          vx_vector,vy_vector,vz_vector,delta_time,mass,r_cutoff,density,force_x,force_y,force_z)
72      end do
73      write(*,*) 'termino el estacionario'
74
75      deallocate(x_vector,y_vector,z_vector)
76      deallocate(vx_vector,vy_vector,vz_vector)
77      deallocate(force_x,force_y,force_z)
78      call cpu_time(time_end)
79      write(10,11) time_end-time_start,n_p
80  end do
81  close(10)
82 end program molecular_dynamic_lennard_jones_06

```

Laboratorio 05 - Problema 02 - Códigos

md_lj_canonical_ensamble_01.f90

```

1  ! make clean && make md_lj_canonical_ensamble_01.o && ./md_lj_canonical_ensamble_01.o
2  program md_lj_canonical_ensamble_01
3      use module_precision;use module_md_lennard_jones
4      implicit none
5      integer(sp), parameter :: n_p=500_sp                                ! cantidad de partículasa
6      real(dp),   parameter :: delta_time=0.005_dp                       ! paso temporal
7      integer(sp), parameter :: time_eq=2000_sp,&                         ! pasos de equilibración
8      integer(sp), parameter :: time_run=1000_sp                         ! pasos de evolucion en el estado estacionario
9      real(dp),   parameter :: T_adim_ref=1.0_dp                         ! temperatura de referencia adimensional
10     real(dp),   parameter :: r_cutoff=2.5_dp,mass=1._dp                ! radio de corte de interacciones y masa
11     real(dp),   allocatable :: x_vector(:),y_vector(:),z_vector(:)      ! componentes de las posiciones/particula

```

```

12  real(dp),    allocatable :: vx_vector(:),vy_vector(:),vz_vector(:) ! componentes de la velocidad/particula
13  real(dp),    allocatable :: force_x(:),force_y(:),force_z(:)      ! componentes de la fuerza/particula
14  integer(sp)   :: i,index                                          ! loop index
15  real(dp)      :: T_adim                                           ! Temperatura
16  real(dp)      :: vx_mc,vy_mc,vz_mc                               ! componentes de la velocidad del centro de masas
17  real(dp)      :: time,time_end,time_start                        ! tiempos de CPU
18  real(dp),    allocatable :: g(:)                                  ! radial ditribution vector
19  real(dp),    parameter  :: density=1.2_dp                        ! densidad (particulas/volumen)
20  integer(sp)   :: n_bins                                           ! numero total de bins
21
22  call cpu_time(time_start)
23
24  allocate(x_vector(n_p),y_vector(n_p),z_vector(n_p))
25  x_vector(:)=0._dp;y_vector(:)=0._dp;z_vector(:)=0._dp
26
27  ! generamos configuraci3n inicial (FCC structure)
28  call initial_lattice_configuration(n_p,density,x_vector,y_vector,z_vector,2)
29
30  allocate(vx_vector(n_p),vy_vector(n_p),vz_vector(n_p))
31  vx_vector(:)=0._dp;vy_vector(:)=0._dp;vz_vector(:)=0._dp
32  call md_initial_parameters(n_p,x_vector,y_vector,z_vector,&
33  vx_vector,vy_vector,vz_vector,T_adim_ref,delta_time,density,mass)
34
35  ! computamos fuerzas en el tiempo inicial
36  allocate(force_x(n_p),force_y(n_p),force_z(n_p))
37  force_x(:)=0._dp;force_y(:)=0._dp;force_z(:)=0._dp
38  call f_lj_total(x_vector,y_vector,z_vector,r_cutoff,n_p,density,force_x,force_y,force_z)
39
40  ! TRANSITORIO
41  index=0
42  do i=1,time_eq
43      index=index+1
44      write(*,*) 'paso temporal =',index,' de',time_eq+time_run
45      call rescaling_velocities(n_p,vx_vector,vy_vector,vz_vector,T_adim_ref,mass)
46      call velocity_verlet(n_p,x_vector,y_vector,z_vector,&
47      vx_vector,vy_vector,vz_vector,delta_time,mass,r_cutoff,density,force_x,force_y,force_z)
48      ! velocity center of mass to zero
49      vx_mc=sum(vx_vector(:))*(1._dp/real(n_p,dp));vx_vector(:)=(vx_vector(:)-vx_mc)
50      vy_mc=sum(vy_vector(:))*(1._dp/real(n_p,dp));vy_vector(:)=(vy_vector(:)-vy_mc)
51      vz_mc=sum(vz_vector(:))*(1._dp/real(n_p,dp));vz_vector(:)=(vz_vector(:)-vz_mc)
52      T_adim=temperature(n_p,mass,vx_vector,vy_vector,vz_vector)
53  end do
54
55  ! ESTACIONARIO
56  time=0._dp
57
58  do i=1,time_run
59      index=index+1
60      write(*,*) 'paso temporal =',index,' de',time_eq+time_run
61      call rescaling_velocities(n_p,vx_vector,vy_vector,vz_vector,T_adim_ref,mass)
62      call velocity_verlet(n_p,x_vector,y_vector,z_vector,&
63      vx_vector,vy_vector,vz_vector,delta_time,mass,r_cutoff,density,force_x,force_y,force_z)
64      time=real(i,dp)*delta_time
65  end do
66
67  n_bins=1000
68  allocate(g(n_bins))
69  ! descomentar para density=0.8
70  ! call radial_ditribution_function('./results/radial_ditribution_function_rho1.dat',n_p,density,&
71  ! x_vector,y_vector,z_vector,n_bins,g)
72  ! descomentar para density=1.2
73  call radial_ditribution_function('./results/radial_ditribution_function_rho2.dat',n_p,density,&
74  x_vector,y_vector,z_vector,n_bins,g)
75  deallocate(g)
76
77  deallocate(x_vector,y_vector,z_vector)
78  deallocate(vx_vector,vy_vector,vz_vector)
79  deallocate(force_x,force_y,force_z)
80
81  call cpu_time(time_end)
82  write(*,*) 'elapsed time = ',time_end-time_start,'[s]'
83  end program md_lj_canonical_ensamble_01

```

md_lj_canonical_ensamble_02.f90

```

1  ! make clean && make md_lj_canonical_ensamble_02.o && ./md_lj_canonical_ensamble_02.o
2  program md_lj_canonical_ensamble_02
3      use module_precision;use module_md_lennard_jones
4      implicit none
5      integer(sp), parameter  :: n_p=500_sp                      ! cantidad de partículasa
6      real(dp),    parameter  :: delta_time=0.005_dp             ! paso temporal
7      integer(sp), parameter  :: time_eq=2000_sp,&                ! pasos de equilibraci3n
8      time_run=1000_sp                                           ! pasos de evolucion en el estado estacionario
9      real(dp),    parameter  :: T_adim_ref=1.0_dp               ! temperatura de referencia adimensional
10     real(dp),    parameter  :: r_cutoff=2.5_dp,mass=1._dp      ! radio de corte de interacciones y masa
11     real(dp),    allocatable :: x_vector(:),y_vector(:),z_vector(:) ! componentes de las posiciones/particula

```



```

12  real(dp),    allocatable :: vx_vector(:),vy_vector(:),vz_vector(:) ! componentes de la velocidad/particula
13  real(dp),    allocatable :: force_x(:),force_y(:),force_z(:)      ! componentes de la fuerza/particula
14  integer(sp)   :: i,index,istat                                     ! loop index
15  real(dp)      :: T_adim                                           ! Temperatura
16  real(dp)      :: vx_mc,vy_mc,vz_mc                               ! componentes de la velocidad del centro de masas
17  real(dp)      :: time,time_end,time_start                         ! tiempos de CPU
18  real(dp),     parameter :: density=0.8_dp                        ! densidad (particulas/volumen)
19  !real(dp),     parameter :: density=1.2_dp                        ! densidad (particulas/volumen)
20
21  ! DESCOMENTAR PARA density=0.8
22  open(10,file='../results/structure_function_rho1.dat',status='replace',action='write',iostat=istat)
23  ! DESCOMENTAR PARA density=1.2
24  !open(10,file='../results/structure_function_rho2.dat',status='replace',action='write',iostat=istat)
25  if (istat/=0) write(*,*) 'ERROR! istat(11file) = ',istat
26  24 format(E12.4,x,E12.4);25 format(A12,x,A12)
27  write(10,25) 'time','S(k,t)'
28
29  call cpu_time(time_start)
30
31  allocate(x_vector(n_p),y_vector(n_p),z_vector(n_p))
32  x_vector(:)=0._dp;y_vector(:)=0._dp;z_vector(:)=0._dp
33
34  ! generamos configuraci3n inicial (FCC structure)
35  call initial_lattice_configuration(n_p,density,x_vector,y_vector,z_vector,2)
36  write(10,24) 0._dp,static_structure_factor(n_p,density,x_vector,y_vector,z_vector)
37
38  allocate(vx_vector(n_p),vy_vector(n_p),vz_vector(n_p))
39  vx_vector(:)=0._dp;vy_vector(:)=0._dp;vz_vector(:)=0._dp
40  call md_initial_parameters(n_p,x_vector,y_vector,z_vector,&
41  vx_vector,vy_vector,vz_vector,T_adim_ref,delta_time,density,mass)
42
43  ! computamos fuerzas en el tiempo inicial
44  allocate(force_x(n_p),force_y(n_p),force_z(n_p))
45  force_x(:)=0._dp;force_y(:)=0._dp;force_z(:)=0._dp
46  call f_lj_total(x_vector,y_vector,z_vector,r_cutoff,n_p,density,force_x,force_y,force_z)
47
48  ! TRANSITORIO
49  index=0
50  time=0._dp
51  do i=1,time_eq
52      index=index+1
53      write(*,*) 'paso temporal =',index,' de',time_eq+time_run
54      call rescaling_velocities(n_p,vx_vector,vy_vector,vz_vector,T_adim_ref,mass)
55      call velocity_verlet(n_p,x_vector,y_vector,z_vector,&
56      vx_vector,vy_vector,vz_vector,delta_time,mass,r_cutoff,density,force_x,force_y,force_z)
57      ! velocity center of mass to zero
58      vx_mc=sum(vx_vector(:))*(1._dp/real(n_p,dp));vx_vector(:)=(vx_vector(:)-vx_mc)
59      vy_mc=sum(vy_vector(:))*(1._dp/real(n_p,dp));vy_vector(:)=(vy_vector(:)-vy_mc)
60      vz_mc=sum(vz_vector(:))*(1._dp/real(n_p,dp));vz_vector(:)=(vz_vector(:)-vz_mc)
61      T_adim=temperature(n_p,mass,vx_vector,vy_vector,vz_vector)
62      time=real(i,dp)*delta_time
63      write(10,24) time,static_structure_factor(n_p,density,x_vector,y_vector,z_vector)
64  end do
65
66  ! ESTACIONARIO
67  time=0._dp
68  do i=1,time_run
69      index=index+1
70      write(*,*) 'paso temporal =',index,' de',time_eq+time_run
71      call rescaling_velocities(n_p,vx_vector,vy_vector,vz_vector,T_adim_ref,mass)
72      call velocity_verlet(n_p,x_vector,y_vector,z_vector,&
73      vx_vector,vy_vector,vz_vector,delta_time,mass,r_cutoff,density,force_x,force_y,force_z)
74      time=(real(time_eq,dp)+real(i,dp))*delta_time
75      write(10,24) time,static_structure_factor(n_p,density,x_vector,y_vector,z_vector)
76  end do
77  close(10)
78
79  deallocate(x_vector,y_vector,z_vector)
80  deallocate(vx_vector,vy_vector,vz_vector)
81  deallocate(force_x,force_y,force_z)
82
83  call cpu_time(time_end)
84  write(*,*) 'elapsed time = ',time_end-time_start,'[s]'
85  end program md_lj_canonical_ensamble_02

```

md_lj_canonical_ensamble_03.f90

```

1  ! make clean && make md_lj_canonical_ensamble_03.o && ./md_lj_canonical_ensamble_03.o
2  program md_lj_canonical_ensamble_03
3      use module_precision;use module_md_lennard_jones
4      implicit none
5      integer(sp), parameter :: n_p=500_sp                ! cantidad de part culas
6      real(dp),    parameter :: delta_time=0.005_dp        ! paso temporal
7      integer(sp), parameter :: time_eq=2000_sp,&          ! pasos de equilibraci3n
8                          time_run=5000_sp                ! pasos de evolucion en el estado estacionario
9      integer(sp), parameter :: tau_max_corr=5000_sp       ! pasos maximos de correlaci3n

```

```

10  real(dp),    parameter  :: T_adim_ref=1.0_dp                ! temperatura de referencia adimensional
11  real(dp),    parameter  :: r_cutoff=2.5_dp,mass=1._dp      ! radio de corte de interacciones y masa
12  real(dp),    allocatable :: x_vector(:),y_vector(:),z_vector(:) ! componentes de las posiciones/particula
13  real(dp),    allocatable :: vx_vector(:),vy_vector(:),vz_vector(:) ! componentes de la velocidad/particula
14  real(dp),    allocatable :: force_x(:),force_y(:),force_z(:) ! componentes de la fuerza/particula
15  real(dp),    allocatable :: wxx_matrix(:,:),wyy_matrix(:,:),& ! matrices auxiliares para cálculo de msd
16  real(dp),    allocatable :: wzz_matrix(:,:)
17  real(dp),    allocatable :: sum_wxx_vector(:),sum_wyy_vector(:),& ! vectores auxiliares para cálculo de msd
18  real(dp),    allocatable :: sum_wzz_vector(:),counter_data(:)
19  integer(sp)   :: i,j,index,istat,counter                ! loop index
20  real(dp)      :: T_adim                                ! Temperatura
21  real(dp)      :: vx_mc,vy_mc,vz_mc                    ! componentes de la velocidad del centro de masas
22  real(dp)      :: time,time_end,time_start              ! tiempos de CPU
23  real(dp)      :: msd                                    ! desplazamiento cuadrático medio
24  real(dp),    parameter  :: density=0.8_dp              ! densidad (particulas/volumen)
25  !real(dp),    parameter  :: density=1.2_dp              ! densidad (particulas/volumen)
26
27  ! DESCOMENTAR PARA density=0.8
28  open(10,file='../results/msd_rho1.dat',status='replace',action='write',iostat=istat)
29  ! DESCOMENTAR PARA density=1.2
30  !open(10,file='../results/msd_rho2.dat',status='replace',action='write',iostat=istat)
31  if (istat/=0) write(*,*) 'ERROR! istat(11file) = ',istat
32  24 format(E12.4,x,E12.4);25 format(A12,x,A12)
33  write(10,25) 'time','msd'
34
35  call cpu_time(time_start)
36
37  allocate(x_vector(n_p),y_vector(n_p),z_vector(n_p))
38  x_vector(:)=0._dp;y_vector(:)=0._dp;z_vector(:)=0._dp
39
40  ! generamos configuración inicial (FCC structure)
41  call initial_lattice_configuration(n_p,density,x_vector,y_vector,z_vector,2)
42
43  counter=0
44  allocate(wxx_matrix(n_p,tau_max_corr),wyy_matrix(n_p,tau_max_corr),wzz_matrix(n_p,tau_max_corr))
45  allocate(sum_wxx_vector(tau_max_corr),sum_wyy_vector(tau_max_corr),sum_wzz_vector(tau_max_corr))
46  allocate(counter_data(tau_max_corr))
47
48  sum_wxx_vector(:)=0._dp;sum_wxx_vector(:)=0._dp;sum_wxx_vector(:)=0._dp
49  counter_data(:)=0_sp
50
51  call mean_squared_displacement(n_p,x_vector,y_vector,z_vector,tau_max_corr,&
52  wxx_matrix,wyy_matrix,wzz_matrix,sum_wxx_vector,sum_wyy_vector,sum_wzz_vector,&
53  counter_data,counter)
54
55  allocate(vx_vector(n_p),vy_vector(n_p),vz_vector(n_p))
56  vx_vector(:)=0._dp;vy_vector(:)=0._dp;vz_vector(:)=0._dp
57  call md_initial_parameters(n_p,x_vector,y_vector,z_vector,&
58  vx_vector,vy_vector,vz_vector,T_adim_ref,delta_time,density,mass)
59
60  ! computamos fuerzas en el tiempo inicial
61  allocate(force_x(n_p),force_y(n_p),force_z(n_p))
62  force_x(:)=0._dp;force_y(:)=0._dp;force_z(:)=0._dp
63  call f_lj_total(x_vector,y_vector,z_vector,r_cutoff,n_p,density,force_x,force_y,force_z)
64
65  ! TRANSITORIO
66  index=0
67  time=0._dp
68  do i=1,time_eq
69    index=index+1
70    write(*,*) 'paso temporal =',index,' de',time_eq+time_run
71    call rescaling_velocities(n_p,vx_vector,vy_vector,vz_vector,T_adim_ref,mass)
72    call velocity_verlet(n_p,x_vector,y_vector,z_vector,&
73    vx_vector,vy_vector,vz_vector,delta_time,mass,r_cutoff,density,force_x,force_y,force_z)
74    ! velocity center of mass to zero
75    vx_mc=sum(vx_vector(:))*(1._dp/real(n_p,dp));vx_vector(:)=(vx_vector(:)-vx_mc)
76    vy_mc=sum(vy_vector(:))*(1._dp/real(n_p,dp));vy_vector(:)=(vy_vector(:)-vy_mc)
77    vz_mc=sum(vz_vector(:))*(1._dp/real(n_p,dp));vz_vector(:)=(vz_vector(:)-vz_mc)
78    T_adim=temperature(n_p,mass,vx_vector,vy_vector,vz_vector)
79    time=real(i,dp)*delta_time
80    call mean_squared_displacement(n_p,x_vector,y_vector,z_vector,tau_max_corr,&
81    wxx_matrix,wyy_matrix,wzz_matrix,sum_wxx_vector,sum_wyy_vector,sum_wzz_vector,&
82    counter_data,counter)
83  end do
84
85  ! ESTACIONARIO
86  time=0._dp
87  do i=1,time_run
88    index=index+1
89    write(*,*) 'paso temporal =',index,' de',time_eq+time_run
90    call rescaling_velocities(n_p,vx_vector,vy_vector,vz_vector,T_adim_ref,mass)
91    call velocity_verlet(n_p,x_vector,y_vector,z_vector,&
92    vx_vector,vy_vector,vz_vector,delta_time,mass,r_cutoff,density,force_x,force_y,force_z)
93    time=(real(time_eq,dp)+real(i,dp))*delta_time
94    call mean_squared_displacement(n_p,x_vector,y_vector,z_vector,tau_max_corr,&
95    wxx_matrix,wyy_matrix,wzz_matrix,sum_wxx_vector,sum_wyy_vector,sum_wzz_vector,&
96    counter_data,counter)

```

```

97     end do
98
99     do j=1,tau_max_corr
100         time=real(j,dp)*delta_time
101         msd=(sum_wxx_vector(j)+sum_wyy_vector(j)+sum_wzz_vector(j))*(1._dp/real(counter_data(j),dp))*(1._dp/real(n_p,dp))
102         write(10,24) time,msd
103     end do
104     close(10)
105
106     deallocate(x_vector,y_vector,z_vector)
107     deallocate(vx_vector,vy_vector,vz_vector)
108     deallocate(force_x,force_y,force_z)
109
110     deallocate(wxx_matrix,wyy_matrix,wzz_matrix)
111     deallocate(sum_wxx_vector,sum_wyy_vector,sum_wzz_vector)
112     deallocate(counter_data)
113
114     call cpu_time(time_end)
115     write(*,*) 'elapsed time = ',time_end-time_start,'[s]'
116 end program md_lj_canonical_ensamble_03
117
118 ! subrutina para calcular el desplazamiento cuadrático medio
119 subroutine mean_squared_displacement(n_p,x_vector,y_vector,z_vector,tau_max_corr,&
120     wxx_matrix,wyy_matrix,wzz_matrix,sum_wxx_vector,sum_wyy_vector,sum_wzz_vector,&
121     counter_data,counter)
122     use module_precision
123
124     implicit none
125     integer(sp), intent(in) :: n_p ! numero total de partículas
126     integer(sp), intent(in) :: tau_max_corr ! pasos maximos de autocorrelación
127     real(dp), intent(in) :: x_vector(n_p),y_vector(n_p),z_vector(n_p) ! componentes del vector posición
128     real(dp), intent(inout) :: wxx_matrix(n_p,tau_max_corr),& ! matrices de acumulación
129     wyy_matrix(n_p,tau_max_corr),&
130     wzz_matrix(n_p,tau_max_corr)
131     real(dp), intent(inout) :: sum_wxx_vector(tau_max_corr),& ! vectores de sumas auxiliares
132     sum_wyy_vector(tau_max_corr),&
133     sum_wzz_vector(tau_max_corr)
134     real(dp), intent(inout) :: counter_data(tau_max_corr) ! contador de datos
135     integer(sp), intent(inout) :: counter ! contador de entradas
136
137     integer(sp) :: i,j
138     integer(sp) :: tau_corr_0,tau_corr_t ! tiempos de correlación
139     integer(sp), parameter :: nmax_tau_corr_0=500_sp ! maximo número de tau_corr_0 que almacenamos
140
141     counter=counter+1 ! numero de veces que entro a la subrutina
142     tau_corr_0=mod(counter-1,tau_max_corr)+1 ! tiempo de correlación actual tau_corr_0={1,2,...,tau_max_corr}
143
144     ! guardamos cíclicamente los últimos tau_max_corr valores
145     ! de las componentes x,y,z de cada partícula
146     do i=1,n_p
147         wxx_matrix(i,tau_corr_0)=x_vector(i)
148         wyy_matrix(i,tau_corr_0)=y_vector(i)
149         wzz_matrix(i,tau_corr_0)=z_vector(i)
150     end do
151
152     if ((mod(counter,nmax_tau_corr_0)==0).and.(counter>tau_max_corr)) then
153         do j=1,tau_max_corr
154             tau_corr_t=mod(counter-j,tau_max_corr)+1
155             do i=1,n_p
156                 sum_wxx_vector(j)=sum_wxx_vector(j)+(wxx_matrix(i,tau_corr_0)-wxx_matrix(i,tau_corr_t))*&
157                 (wxx_matrix(i,tau_corr_0)-wxx_matrix(i,tau_corr_t))
158                 sum_wyy_vector(j)=sum_wyy_vector(j)+(wyy_matrix(i,tau_corr_0)-wyy_matrix(i,tau_corr_t))*&
159                 (wyy_matrix(i,tau_corr_0)-wyy_matrix(i,tau_corr_t))
160                 sum_wzz_vector(j)=sum_wzz_vector(j)+(wzz_matrix(i,tau_corr_0)-wzz_matrix(i,tau_corr_t))*&
161                 (wzz_matrix(i,tau_corr_0)-wzz_matrix(i,tau_corr_t))
162             end do
163             ! actualizamos el contador de datos para cada tiempo de correlación
164             counter_data(j)=counter_data(j)+1._dp
165         end do
166     end if
167 end subroutine mean_squared_displacement

```

Laboratorio 05 - Problema 03 - Códigos

md_lj_order_transition_01.f90

```

1  ! make clean && make md_lj_order_transition_01.o && ./md_lj_order_transition_01.o
2  program md_lj_order_transition_01
3      use module_precision;use module_md_lennard_jones
4      implicit none
5      integer(sp), parameter :: n_p=256_sp ! cantidad de partículas
6      real(dp), parameter :: delta_time=0.005_dp ! paso temporal
7      integer(sp), parameter :: time_eq=2000_sp,& ! pasos de equilibración
8      time_run=1000_sp ! pasos de evolucion en el estado estacionario
9      real(dp), parameter :: T_adim_ref=1.0_dp ! temperatura de referencia adimensional

```

```

10  real(dp), parameter :: r_cutoff=2.5_dp, mass=1._dp           ! radio de corte de interacciones y masa
11  real(dp), allocatable :: x_vector(:), y_vector(:), z_vector(:) ! componentes de las posiciones/particula
12  real(dp), allocatable :: vx_vector(:), vy_vector(:), vz_vector(:) ! componentes de la velocidad/particula
13  real(dp), allocatable :: force_x(:), force_y(:), force_z(:)    ! componentes de la fuerza/particula
14  integer(sp)           :: i, j, k, index, istat                ! loop index
15  real(dp)              :: T_adim                               ! Temperatura
16  real(dp)              :: vx_mc, vy_mc, vz_mc                 ! componentes de la velocidad del centro de masas
17  real(dp)              :: time, time_end, time_start           ! tiempos de CPU
18  logical               :: pressure_switch, structure_factor_switch, & ! variables para decidir escritura de datos
19  diffusion_coeff_switch
20  ! VARIABLES PARA REALIZAR BARRIDO DE DENSIDADES
21  real(dp)              :: density                             ! densidad (particulas/volumen)
22  real(dp), parameter :: density_min=0.8_dp, density_max=1.2_dp ! rango de densidades
23  integer(sp), parameter :: n_density=10_sp                   ! cantidad de densidades simuladas
24  real(dp), parameter :: step_density=abs(density_max-density_min)*& ! paso de variaci3n de densidades
25                        (1._dp/real(n_density-1,dp))
26  ! VARIABLES PARA COMPUTAR PRESI3N Y FACTOR DE ESTRUCTURA EST3TICO
27  real(dp)              :: press, press_med, var_press, err_press
28  real(dp)              :: s1_press, s2_press
29  real(dp)              :: Sk, Sk_med, var_Sk, err_Sk
30  real(dp)              :: s1_Sk, s2_Sk
31  real(dp)              :: D, D_med, var_D, err_D
32  real(dp)              :: s1_D, s2_D
33  real(dp)              :: msd_med, var_msd, err_msd
34  real(dp)              :: s1_msd, s2_msd
35  ! VARIABLES PARA COMPUTAR COEFICIENTE DE DIFUSI3N
36  integer(sp), parameter :: tau_max_corr=1000_sp              ! pasos maximos de correlaci3n
37  real(dp), allocatable :: wxx_matrix(:, :), wyy_matrix(:, :), & ! matrices auxiliares para c3lculo de msd
38                        wzz_matrix(:, :), &
39  real(dp), allocatable :: sum_wxx_vector(:), sum_wyy_vector(:), & ! vectores auxiliares para c3lculo de msd
40                        sum_wzz_vector(:), counter_data(:), &
41  real(dp)              :: msd                                ! desplazamiento cuadr3tico medio
42  integer(sp)           :: counter
43
44  pressure_switch       =.false. ! escribir presi3n vs densidad
45  structure_factor_switch=.false. ! escribir factor de estructura vs densidad
46  diffusion_coeff_switch=.true. ! escribir coeficiente de difusi3n vs densidad
47
48  20 format(2(E12.4,x),x,E12.4); 21 format(2(A12,x),x,A12)
49  22 format(4(E12.4,x),x,E12.4); 23 format(4(A12,x),x,A12)
50  if (pressure_switch.eqv..true.) then
51    open(10, file='./results/pressure_vs_density.dat', status='replace', action='write', iostat=istat)
52    if (istat/=0) write(*,*) 'ERROR! istat(10file) = ', istat
53    write(10,21) 'density', 'pressure', 'error'
54  else if (structure_factor_switch.eqv..true.) then
55    open(11, file='./results/struct_factor_vs_density.dat', status='replace', action='write', iostat=istat)
56    if (istat/=0) write(*,*) 'ERROR! istat(11file) = ', istat
57    write(11,21) 'density', 'S(k)_med', 'error'
58  else if (diffusion_coeff_switch.eqv..true.) then
59    open(12, file='./results/diffsuion_vs_density.dat', status='replace', action='write', iostat=istat)
60    if (istat/=0) write(*,*) 'ERROR! istat(12file) = ', istat
61    write(12,23) 'density', 'D', 'error', 'msd', 'error'
62  end if
63
64  call cpu_time(time_start)
65
66  ! allocaci3n de memoria
67  allocate(x_vector(n_p), y_vector(n_p), z_vector(n_p))
68  allocate(vx_vector(n_p), vy_vector(n_p), vz_vector(n_p))
69
70  allocate(force_x(n_p), force_y(n_p), force_z(n_p))
71
72  allocate(wxx_matrix(n_p, tau_max_corr), wyy_matrix(n_p, tau_max_corr), wzz_matrix(n_p, tau_max_corr))
73  allocate(sum_wxx_vector(tau_max_corr), sum_wyy_vector(tau_max_corr), sum_wzz_vector(tau_max_corr))
74  allocate(counter_data(tau_max_corr))
75
76  do j=1, n_density
77    ! seteo de variables y par3metros
78    x_vector(:)=0._dp; y_vector(:)=0._dp; z_vector(:)=0._dp
79    vx_vector(:)=0._dp; vy_vector(:)=0._dp; vz_vector(:)=0._dp
80    force_x(:)=0._dp; force_y(:)=0._dp; force_z(:)=0._dp
81    sum_wxx_vector(:)=0._dp; sum_wyy_vector(:)=0._dp; sum_wzz_vector(:)=0._dp
82    counter=0; counter_data(:)=0_sp
83
84    ! definimos r_cutoff en el rango [density_min; density_max]
85    density=density_min+step_density*real(j-1,dp)
86
87    ! generamos configuraci3n inicial (FCC structure)
88    call initial_lattice_configuration(n_p, density, x_vector, y_vector, z_vector, 2)
89    call mean_squared_displacement(n_p, x_vector, y_vector, z_vector, tau_max_corr, &
90    wxx_matrix, wyy_matrix, wzz_matrix, sum_wxx_vector, sum_wyy_vector, sum_wzz_vector, &
91    counter_data, counter)
92
93    call md_initial_parameters(n_p, x_vector, y_vector, z_vector, &
94    vx_vector, vy_vector, vz_vector, T_adim_ref, delta_time, density, mass)
95
96    ! computamos fuerzas en el tiempo inicial

```

```

97 call f_lj_total(x_vector,y_vector,z_vector,r_cutoff,n_p,density,force_x,force_y,force_z)
98
99 ! TRANSITORIO
100 index=0
101 time=0._dp
102 do i=1,time_eq
103     index=index+1
104     write(*,*) 'paso temporal =',index,' de',time_eq+time_run,j
105     call rescaling_velocities(n_p,vx_vector,vy_vector,vz_vector,T_adim_ref,mass)
106     call velocity_verlet(n_p,x_vector,y_vector,z_vector,&
107         vx_vector,vy_vector,vz_vector,delta_time,mass,r_cutoff,density,force_x,force_y,force_z)
108     ! velocity center of mass to zero
109     vx_mc=sum(vx_vector(:))*(1._dp/real(n_p,dp));vx_vector(:)=(vx_vector(:)-vx_mc)
110     vy_mc=sum(vy_vector(:))*(1._dp/real(n_p,dp));vy_vector(:)=(vy_vector(:)-vy_mc)
111     vz_mc=sum(vz_vector(:))*(1._dp/real(n_p,dp));vz_vector(:)=(vz_vector(:)-vz_mc)
112     T_adim=temperature(n_p,mass,vx_vector,vy_vector,vz_vector)
113     call mean_squared_displacement(n_p,x_vector,y_vector,z_vector,tau_max_corr,&
114         wxx_matrix,wyw_matrix,wzz_matrix,sum_wxx_vector,sum_wyy_vector,sum_wzz_vector,&
115         counter_data,counter)
116     time=real(i,dp)*delta_time
117 end do
118
119 ! ESTACIONARIO
120 press_med=0._dp;s1_press=0._dp;s2_press=0._dp
121 Sk_med=0._dp;s1_Sk=0._dp;s2_Sk=0._dp
122
123 time=0._dp
124 do i=1,time_run
125     index=index+1
126     write(*,*) 'paso temporal =',index,' de',time_eq+time_run,j
127     call rescaling_velocities(n_p,vx_vector,vy_vector,vz_vector,T_adim_ref,mass)
128     call velocity_verlet(n_p,x_vector,y_vector,z_vector,&
129         vx_vector,vy_vector,vz_vector,delta_time,mass,r_cutoff,density,force_x,force_y,force_z)
130
131     ! computamos observables,1er y 2do momento,valores medios y varianzas
132     if (pressure_switch.eqv..true.) then
133         press=pressure(n_p,density,mass,r_cutoff,x_vector,y_vector,z_vector,&
134             vx_vector,vy_vector,vz_vector)
135         s1_press=s1_press+press;s2_press=s2_press+press*press
136         press_med=s1_press*(1._dp/real(i,dp))
137         var_press=(real(i,dp)*s2_press-s1_press*s1_press)*(1._dp/real(i*i,dp))
138     else if (structure_factor_switch.eqv..true.) then
139         Sk=static_structure_factor(n_p,density,x_vector,y_vector,z_vector)
140         s1_Sk=s1_Sk+Sk;s2_Sk=s2_Sk+Sk*Sk
141         Sk_med=s1_Sk*(1._dp/real(i,dp))
142         var_Sk=(real(i,dp)*s2_Sk-s1_Sk*s1_Sk)*(1._dp/real(i*i,dp))
143     else if (diffusion_coeff_switch.eqv..true.) then
144         call mean_squared_displacement(n_p,x_vector,y_vector,z_vector,tau_max_corr,&
145             wxx_matrix,wyw_matrix,wzz_matrix,sum_wxx_vector,sum_wyy_vector,sum_wzz_vector,&
146             counter_data,counter)
147     end if
148
149     time=real(i,dp)*delta_time
150 end do
151
152 if (pressure_switch.eqv..true.) then
153     ! computamos errores en el último paso
154     err_press=(var_press*0.25_dp)*(1._dp/real(time_eq-1,dp))
155     write(10,20) density,press_med,err_press
156 else if (structure_factor_switch.eqv..true.) then
157     ! computamos errores en el último paso
158     err_Sk=(var_Sk*0.25_dp)*(1._dp/real(time_eq-1,dp))
159     write(11,20) density,Sk_med,err_Sk
160 else if (diffusion_coeff_switch.eqv..true.) then
161     D_med=0._dp;s1_D=0._dp;s2_D=0._dp
162     msd_med=0._dp;s1_msd=0._dp;s2_msd=0._dp
163     do k=1,tau_max_corr
164         time=real(k,dp)*delta_time
165         ! computamos msd
166         msd=(sum_wxx_vector(k)+sum_wyy_vector(k)+sum_wzz_vector(k))*&
167             (1._dp/real(counter_data(k),dp))*(1._dp/real(n_p,dp))
168         ! computamos observables,1er y 2do momento,valores medios y varianzas
169         D=msd*(1._dp/6._dp)*(1._dp/time)
170         s1_D=s1_D+D;s2_D=s2_D+D*D
171         D_med=s1_D*(1._dp/real(k,dp))
172         var_D=(real(k,dp)*s2_D-s1_D*s1_D)*(1._dp/real(k*k,dp))
173
174         s1_msd=s1_msd+msd;s2_msd=s2_msd+msd*msd
175         msd_med=s1_msd*(1._dp/real(k,dp))
176         var_msd=(real(k,dp)*s2_msd-s1_msd*s1_msd)*(1._dp/real(k*k,dp))
177     end do
178     ! computamos errores en el último paso
179     err_D=(var_D*0.25_dp)*(1._dp/real(tau_max_corr-1,dp))
180     err_msd=(var_msd*0.25_dp)*(1._dp/real(tau_max_corr-1,dp))
181     write(12,22) density,D_med,err_D,msd_med,err_msd
182 end if
183 end do

```



```

184
185   if (pressure_switch.eqv..true.) close(10)
186   if (structure_factor_switch.eqv..true.) close(11)
187   if (diffusion_coeff_switch.eqv..true.) close(12)
188
189   deallocate(x_vector,y_vector,z_vector)
190   deallocate(vx_vector,vy_vector,vz_vector)
191   deallocate(force_x,force_y,force_z)
192   deallocate(wxx_matrix,wyw_matrix,wzz_matrix)
193   deallocate(sum_wxx_vector,sum_wyy_vector,sum_wzz_vector)
194   deallocate(counter_data)
195
196   call cpu_time(time_end)
197   write(*,*) 'elapsed time = ',time_end-time_start,'[s]'
198 end program md_lj_order_transition_01
199
200 ! subrutina para calcular el desplazamiento cuadrático medio
201 subroutine mean_squared_displacement(n_p,x_vector,y_vector,z_vector,tau_max_corr,&
202   wxx_matrix,wyw_matrix,wzz_matrix,sum_wxx_vector,sum_wyy_vector,sum_wzz_vector,&
203   counter_data,counter)
204   use module_precision
205
206   implicit none
207   integer(sp), intent(in) :: n_p ! numero total de partículas
208   integer(sp), intent(in) :: tau_max_corr ! pasos maximos de autocorrelación
209   real(dp), intent(in) :: x_vector(n_p),y_vector(n_p),z_vector(n_p) ! componentes del vector posición
210   real(dp), intent(inout) :: wxx_matrix(n_p,tau_max_corr),& ! matrices de acumulación
211   wyw_matrix(n_p,tau_max_corr),&
212   wzz_matrix(n_p,tau_max_corr)
213   real(dp), intent(inout) :: sum_wxx_vector(tau_max_corr),& ! vectores de sumas auxiliares
214   sum_wyy_vector(tau_max_corr),&
215   sum_wzz_vector(tau_max_corr)
216   real(dp), intent(inout) :: counter_data(tau_max_corr) ! contador de datos
217   integer(sp), intent(inout) :: counter ! contador de entradas
218
219   integer(sp) :: i,j
220   integer(sp) :: tau_corr_0,tau_corr_t ! tiempos de correlación
221   integer(sp), parameter :: nmax_tau_corr_0=10_sp ! maximo número de tau_corr_0 que almacenamos
222
223   counter=counter+1 ! numero de veces que entro a la subrutina
224   tau_corr_0=mod(counter-1,tau_max_corr)+1 ! tiempo de correlación actual tau_corr_0={1,2,...,tau_max_corr}
225
226   ! guardamos cíclicamente los últimos tau_max_corr valores
227   ! de las componentes x,y,z de cada partícula
228   do i=1,n_p
229     wxx_matrix(i,tau_corr_0)=x_vector(i)
230     wyw_matrix(i,tau_corr_0)=y_vector(i)
231     wzz_matrix(i,tau_corr_0)=z_vector(i)
232   end do
233
234   if ((mod(counter,nmax_tau_corr_0)==0).and.(counter>tau_max_corr)) then
235     do j=1,tau_max_corr
236       tau_corr_t=mod(counter-j,tau_max_corr)+1
237       do i=1,n_p
238         sum_wxx_vector(j)=sum_wxx_vector(j)+(wxx_matrix(i,tau_corr_0)-wxx_matrix(i,tau_corr_t))*&
239           (wxx_matrix(i,tau_corr_0)-wxx_matrix(i,tau_corr_t))
240         sum_wyy_vector(j)=sum_wyy_vector(j)+(wyw_matrix(i,tau_corr_0)-wyw_matrix(i,tau_corr_t))*&
241           (wyw_matrix(i,tau_corr_0)-wyw_matrix(i,tau_corr_t))
242         sum_wzz_vector(j)=sum_wzz_vector(j)+(wzz_matrix(i,tau_corr_0)-wzz_matrix(i,tau_corr_t))*&
243           (wzz_matrix(i,tau_corr_0)-wzz_matrix(i,tau_corr_t))
244       end do
245       ! actualizamos el contador de datos para cada tiempo de correlación
246       counter_data(j)=counter_data(j)+1._dp
247     end do
248   end if
249 end subroutine mean_squared_displacement

```

Laboratorio 05 - Módulo principal

module_md_lennard_jones.f90

```

1  ! module of molecular dynamic to lennard jones potential
2  ! gfortran -c module_precision.f90 module_mt19937.f90 module_md_lennard_jones.f90
3  module module_md_lennard_jones
4    use module_precision;use module_mt19937, only: sgrnd.grnd
5    implicit none
6    contains
7
8    ! FUNCIONES
9    ! FUNCION PARA CALCULAR EL FACTOR DE ESTRUCTURA ESTÁTICO (PARAMETRO DE ORDEN CRISTALINO)
10   function static_structure_factor(n_p,density,x_vector,y_vector,z_vector)
11     integer(sp), intent(in) :: n_p ! numero de partículas
12     real(dp), intent(in) :: density ! densidad de partículas
13     real(dp), intent(in) :: x_vector(n_p),y_vector(n_p),z_vector(n_p) ! coordenadas del vector posicion
14     real(dp) :: static_structure_factor ! funcion de estructura

```

```

15     real(dp),    parameter :: pi=4._dp*atan(1._dp)
16     real(dp)     :: a                                ! parámetro de red
17     real(dp)     :: points_unitcells                 ! número de partículas por celda unidad
18     real(dp)     :: factor1,factor2
19     real(dp)     :: kx,ky,kz                         ! componentes del vector de onda
20     integer(sp)  :: i
21
22     ! valido únicamente para una red FCC
23     points_unitcells=4._dp
24     a=(points_unitcells*(1._dp/density))*((1._dp/3._dp)
25     factor1=0._dp;factor2=0._dp
26     do i=1,n_p
27         ! cambiar en caso de tener otro vector de onda
28         kx=-2._dp*pi*(1._dp/a)*x_vector(i)
29         ky=2._dp*pi*(1._dp/a)*y_vector(i)
30         kz=-2._dp*pi*(1._dp/a)*z_vector(i)
31         factor1=factor1+cos(kx+ky+kz)
32         factor2=factor2+sin(kx+ky+kz)
33     end do
34     factor1=factor1*factor1;factor2=factor2*factor2
35     static_structure_factor=(1._dp/real(n_p*n_p,dp))*((factor1+factor2)
36 end function static_structure_factor
37
38 function pressure(n_p,density,mass,r_cutoff,x_vector,y_vector,z_vector,&
39 vx_vector,vy_vector,vz_vector)
40     integer(sp), intent(in) :: n_p
41     real(dp),    intent(in) :: r_cutoff,density,mass
42     real(dp),    intent(in) :: x_vector(n_p),y_vector(n_p),z_vector(n_p)
43     real(dp),    intent(in) :: vx_vector(n_p),vy_vector(n_p),vz_vector(n_p)
44     real(dp)     :: pressure,rij_pow02,result,T_adim,force_indiv
45     integer(sp)  :: i,j
46     result=0._dp
47     do j=2,n_p
48         do i=1,j-1
49             rij_pow02=rel_pos_correction(x_vector(i),y_vector(i),z_vector(i),&
50 x_vector(j),y_vector(j),z_vector(j),n_p,density)
51             if (rij_pow02<=r_cutoff*r_cutoff) then
52                 force_indiv=f_lj_individual(rij_pow02)
53             else; force_indiv=0._dp; end if
54             result=result+force_indiv*rij_pow02
55         end do
56     end do
57     T_adim=temperature(n_p,mass,vx_vector,vy_vector,vz_vector)
58     pressure=density*(T_adim+(1._dp/(3._dp*real(n_p,dp)))*result)
59 end function pressure
60
61 ! compute individual lennard jones potential (simple truncation)
62 function u_lj_individual(r12_pow02)
63     real(dp), intent(in) :: r12_pow02 ! distancia adimensional entre pares de partículas
64     real(dp)     :: r12_pow06 ! potencias de la distancia relativa
65     real(dp)     :: u_lj_individual ! adimensional lennard jones potential
66     integer(sp)  :: i
67     ! calculamos distancia relativa corregida según PBC
68     r12_pow06=1._dp
69     do i=1,3;r12_pow06=r12_pow06*r12_pow02;end do ! (r12)^6
70     u_lj_individual=4._dp*(1._dp/r12_pow06)*((1._dp/r12_pow06)-1._dp)
71 end function u_lj_individual
72 ! compute total lennard jones potential
73 function u_lj_total(n_p,x_vector,y_vector,z_vector,r_cutoff,density)
74     integer(sp), intent(in) :: n_p
75     real(dp),    intent(in) :: x_vector(n_p),y_vector(n_p),z_vector(n_p)
76     real(dp),    intent(in) :: r_cutoff,density
77     real(dp)     :: u_lj_total,u_indiv,rij_pow02
78     integer(sp)  :: i,j
79     u_lj_total=0._dp
80     do j=2,n_p
81         do i=1,j-1
82             ! calculamos distancia relativa corregida según PBC
83             rij_pow02=rel_pos_correction(x_vector(i),y_vector(i),z_vector(i),&
84 x_vector(j),y_vector(j),z_vector(j),n_p,density)
85             if (rij_pow02<=r_cutoff*r_cutoff) then
86                 u_indiv=u_lj_individual(rij_pow02)
87             else; u_indiv=0._dp; end if
88             u_lj_total=u_lj_total+u_indiv
89         end do
90     end do
91 end function u_lj_total
92
93 function kinetic_ergy_total(n_p,vx_vector,vy_vector,vz_vector,mass)
94     integer(sp), intent(in) :: n_p
95     real(dp),    intent(in) :: vx_vector(n_p),vy_vector(n_p),vz_vector(n_p)
96     real(dp),    intent(in) :: mass
97     real(dp)     :: kinetic_ergy_total
98     !integer(sp) :: i
99     kinetic_ergy_total=0.5_dp*mass*(sum(vx_vector(:)*vx_vector(:))+&
100 sum(vy_vector(:)*vy_vector(:))+sum(vz_vector(:)*vz_vector(:)))
101 end function kinetic_ergy_total

```

```

102
103 ! calculo de la fuerza individual (par de partículas)
104 function f_lj_individual(r12_pow02)
105     real(dp), intent(in) :: r12_pow02 ! distancia adimensional entre pares de partículas
106     real(dp) :: r12_pow06 ! factores potencia
107     real(dp) :: f_lj_individual ! adimensional individual lennard jones force
108     integer(sp) :: i
109     r12_pow06=1._dp
110     do i=1,3; r12_pow06=r12_pow06*r12_pow02; end do ! (r12)^6
111     f_lj_individual=24._dp*(1._dp/(r12_pow02*r12_pow06))*(2._dp*(1._dp/r12_pow06)-1._dp)
112 end function f_lj_individual
113
114 ! calculo de la componente xi de la fuerza total
115 subroutine f_lj_total(x_vector,y_vector,z_vector,r_cutoff,n_p,density,&
116     fx_lj_total_vector,fy_lj_total_vector,fz_lj_total_vector)
117     integer(sp), intent(in) :: n_p
118     real(dp), intent(in) :: x_vector(n_p),y_vector(n_p),z_vector(n_p)
119     real(dp), intent(in) :: r_cutoff,density
120     real(dp), intent(inout) :: fx_lj_total_vector(n_p),fy_lj_total_vector(n_p),&
121         fz_lj_total_vector(n_p) ! vector de fuerzas netas
122     real(dp) :: rij_pow02
123     real(dp) :: force_indiv ! fuerza neta acuando en una determinada partícula
124     integer(sp) :: i,j
125     real(dp) :: dx,dy,dz,L
126     fx_lj_total_vector(:)=0._dp;fy_lj_total_vector(:)=0._dp;fz_lj_total_vector(:)=0._dp
127     L=(real(n_p,dp)*(1._dp/density))*((1._dp/3._dp)
128     do j=2,n_p
129         do i=1,j-1
130             ! calculamos distancia relativa corregida según PBC
131             rij_pow02=rel_pos_correction(x_vector(i),y_vector(i),z_vector(i),&
132                 x_vector(j),y_vector(j),z_vector(j),n_p,density)
133
134             if (rij_pow02<=r_cutoff*r_cutoff) then
135                 force_indiv=f_lj_individual(rij_pow02)
136             else; force_indiv=0._dp;end if
137
138             dx=pb correction((x_vector(i)-x_vector(j)),n_p,density)
139             dy=pb correction((y_vector(i)-y_vector(j)),n_p,density)
140             dz=pb correction((z_vector(i)-z_vector(j)),n_p,density)
141             ! COMPONENTES DE LA FUERZA
142             fx_lj_total_vector(i)=fx_lj_total_vector(i)+force_indiv*dx
143             fx_lj_total_vector(j)=fx_lj_total_vector(j)-force_indiv*dx
144             fy_lj_total_vector(i)=fy_lj_total_vector(i)+force_indiv*dy
145             fy_lj_total_vector(j)=fy_lj_total_vector(j)-force_indiv*dy
146             fz_lj_total_vector(i)=fz_lj_total_vector(i)+force_indiv*dz
147             fz_lj_total_vector(j)=fz_lj_total_vector(j)-force_indiv*dz
148         end do
149     end do
150 end subroutine f_lj_total
151
152 function temperature(n_p,mass,vx_vector,vy_vector,vz_vector)
153     integer(sp), intent(in) :: n_p
154     real(dp), intent(in) :: vx_vector(n_p),vy_vector(n_p),vz_vector(n_p)
155     real(dp), intent(in) :: mass
156     real(dp) :: temperature
157     temperature=mass*(sum(vx_vector(:)*vx_vector(:))+&
158         sum(vy_vector(:)*vy_vector(:))+sum(vz_vector(:)*vz_vector(:)))*&
159         (1._dp/(3._dp*real(n_p,dp)))
160 end function temperature
161
162 ! corrección de las posiciones relativas (PBC)
163 function rel_pos_correction(x1,y1,z1,x2,y2,z2,n_p,density)
164     integer(sp), intent(in) :: n_p ! numero total de partículas
165     real(dp), intent(in) :: density ! densidad de partículas
166     real(dp), intent(in) :: x1,y1,z1,x2,y2,z2 ! coordenadas del par de partículas
167     real(dp) :: rel_pos_correction ! posición relativa corregida (PBC) al cuadrado
168     real(dp) :: dx,dy,dz ! diferencia de posiciones segun coordenadas
169     dx=pb correction((x1-x2),n_p,density)
170     dy=pb correction((y1-y2),n_p,density)
171     dz=pb correction((z1-z2),n_p,density)
172     rel_pos_correction=dx*dx+dy*dy+dz*dz
173 end function rel_pos_correction
174
175 function pb correction(x,n_p,density)
176     integer(sp), intent(in) :: n_p ! numero total de partículas
177     real(dp), intent(in) :: density ! densidad de partículas
178     real(dp), intent(in) :: x ! variable a corregir
179     real(dp) :: pb correction,L
180     L=(real(n_p,dp)*(1._dp/density))*((1._dp/3._dp)
181     pb correction=(x-L*anint(x*(1._dp/L),dp))
182 end function pb correction
183
184 ! SUBROUTINAS
185 subroutine rescaling_velocities(n_p,vx_vector,vy_vector,vz_vector,T_adim_ref,mass)
186     integer(sp), intent(in) :: n_p
187     real(dp), intent(inout) :: vx_vector(n_p),vy_vector(n_p),vz_vector(n_p)
188     real(dp), intent(in) :: T_adim_ref,mass

```

```

189     real(dp)                :: T_adim
190     T_adim=temperature(n_p,mass,vx_vector,vy_vector,vz_vector)
191     vx_vector(:)=sqrt(T_adim_ref*(1._dp/T_adim))*vx_vector(:)
192     vy_vector(:)=sqrt(T_adim_ref*(1._dp/T_adim))*vy_vector(:)
193     vz_vector(:)=sqrt(T_adim_ref*(1._dp/T_adim))*vz_vector(:)
194 end subroutine rescaling_velocities
195
196 ! corrección de las posiciones (PBC)
197 subroutine position_correction(n_p,density,x,y,z)
198     integer(sp), intent(in)  :: n_p      ! numero total de partículas
199     real(dp),   intent(in)   :: density  ! densidad de partículas
200     real(dp),   intent(inout) :: x,y,z   ! posiciones
201     x=pbcc_correction(x,n_p,density)
202     y=pbcc_correction(y,n_p,density)
203     z=pbcc_correction(z,n_p,density)
204 end subroutine position_correction
205
206 ! Subroutine to set up sc and fcc lattice
207 subroutine initial_lattice_configuration(n_p,density,x_vector,y_vector,z_vector,type_structure)
208     integer(sp), intent(in)  :: n_p      ! numero total de partículas
209     integer(sp), intent(in)  :: type_structure ! 1 by sc lattice/ 2 by fcc lattice
210     real(dp),   intent(in)   :: density  ! densidad de partículas
211     real(dp),   intent(inout) :: x_vector(n_p),& ! coordenadas de los vectores posición
212                                     y_vector(n_p),&
213                                     z_vector(n_p)
214     integer(sp)                :: i,j,k,index2,index ! loop index
215     real(dp)                  :: L                    ! logitud macroscópica por dimensión
216     real(dp)                  :: a                    ! parámetro de red
217     real(dp)                  :: n_unitcells          ! numero de celdas unidad por dimension
218     real(dp)                  :: points_unitcells     ! número de partículas por celda unidad
219     real(dp), allocatable     :: aux_matrix(:,,:)      ! matriz auxiliar con vectores primitivos (FCC)
220     L=(real(n_p,dp)*(1._dp/density))*((1._dp/3._dp)
221     select case (type_structure)
222     case(1) ! sc laticce
223         points_unitcells=1._dp
224         n_unitcells=aint((real(n_p,dp)*(1._dp/points_unitcells))*((1._dp/3._dp),dp)
225         a=L*(1._dp/(n_unitcells-1._dp))!a=(4*(1._dp/density))*((1._dp/3._dp)
226         ! cargamos vectores de coordenadas
227         index=0
228         do i=1,int(n_unitcells,sp)
229             do j=1,int(n_unitcells,sp)
230                 do k=1,int(n_unitcells,sp)
231                     index=index+1
232                     ! CENTRAMOS LA CELDA EN EL RANGO [-L/2:L/2]
233                     x_vector(index)=real(i-1,dp)*a-0.5_dp*L
234                     y_vector(index)=real(j-1,dp)*a-0.5_dp*L
235                     z_vector(index)=real(k-1,dp)*a-0.5_dp*L
236                 end do
237             end do
238         end do
239     case(2) ! fcc laticce
240         points_unitcells=4._dp
241         n_unitcells=aint((real(n_p,dp)*(1._dp/points_unitcells))*((1._dp/3._dp),dp)
242         a=L*(1._dp/(n_unitcells))!a=(4*(1._dp/density))*((1._dp/3._dp)
243         ! cargamos matriz con vectores primitivos (specific for FCC structure)
244         allocate(aux_matrix(4,3));aux_matrix(:,:)=a*0.5_dp
245         aux_matrix(1,:)=0.0_dp;aux_matrix(2,3)=0.0_dp
246         aux_matrix(3,2)=0.0_dp;aux_matrix(4,1)=0.0_dp
247         ! cargamos vectores de coordenadas
248         index=0
249         do i=1,int(n_unitcells,sp)
250             do j=1,int(n_unitcells,sp)
251                 do k=1,int(n_unitcells,sp)
252                     do index2=1,4
253                         index=index+1
254                         ! CENTRAMOS LA CELDA EN EL RANGO [-L/2:L/2]
255                         x_vector(index)=(aux_matrix(index2,1)+real(i-1,dp)*a)-0.5_dp*L
256                         y_vector(index)=(aux_matrix(index2,2)+real(j-1,dp)*a)-0.5_dp*L
257                         z_vector(index)=(aux_matrix(index2,3)+real(k-1,dp)*a)-0.5_dp*L
258                     end do
259                 end do
260             end do
261         end do
262         deallocate(aux_matrix)
263     case(3) ! fcc laticce (other method)
264         points_unitcells=4._dp
265         n_unitcells=aint((real(n_p,dp)*(1._dp/points_unitcells))*((1._dp/3._dp),dp)
266         a=(points_unitcells*(1._dp/density))*((1._dp/3._dp)
267         index=0
268         do i=0,int(n_unitcells,sp)-1
269             do j=0,int(n_unitcells,sp)-1
270                 do k=0,int(n_unitcells,sp)-1
271                     index=index+1
272                     x_vector(index)=a*real(i,dp)-L*0.5_dp
273                     y_vector(index)=a*real(j,dp)-L*0.5_dp
274                     z_vector(index)=a*real(k,dp)-L*0.5_dp
275                     index=index+1

```

```

276         x_vector(index)=a*(real(i,dp)+0.5_dp)-L*0.5_dp
277         y_vector(index)=a*(real(j,dp)+0.5_dp)-L*0.5_dp
278         z_vector(index)=a*real(k,dp)-L*0.5_dp
279         index=index+1
280         x_vector(index)=a*real(i,dp)-L*0.5_dp
281         y_vector(index)=a*(real(j,dp)+0.5_dp)-L*0.5_dp
282         z_vector(index)=a*(real(k,dp)+0.5_dp)-L*0.5_dp
283         index=index+1
284         x_vector(index)=a*(real(i,dp)+0.5_dp)-L*0.5_dp
285         y_vector(index)=a*real(j,dp)-L*0.5_dp
286         z_vector(index)=a*(real(k,dp)+0.5_dp)-L*0.5_dp
287     enddo
288 enddo
289 enddo
290 end select
291 end subroutine initial_lattice_configuration
292
293 ! SUBROUTINA DE INTEGRACIÓN DE ECUACIONES DE MOVIMIENTO
294 subroutine velocity_verlet(n_p,x_vector,y_vector,z_vector,&
295     vx_vector,vy_vector,vz_vector,&
296     delta_time,mass,r_cutoff,density,force_x,force_y,force_z)
297     integer(sp), intent(in) :: n_p
298     real(dp), intent(inout) :: x_vector(n_p),y_vector(n_p),z_vector(n_p)
299     real(dp), intent(inout) :: vx_vector(n_p),vy_vector(n_p),vz_vector(n_p)
300     real(dp), intent(in) :: delta_time,mass,r_cutoff,density
301     real(dp), intent(inout) :: force_x(n_p),force_y(n_p),force_z(n_p)
302     integer(sp) :: i
303     real(dp) :: factor
304     factor=delta_time*0.5_dp*(1._dp/mass)
305     do i=1,n_p
306         ! COMPONENTES DE LA VELOCIDAD A TIEMPO SEMI-EVOLUCIONADO
307         vx_vector(i)=vx_vector(i)+force_x(i)*factor
308         vy_vector(i)=vy_vector(i)+force_y(i)*factor
309         vz_vector(i)=vz_vector(i)+force_z(i)*factor
310         ! COMPONENTES DE LA POSICION A TIEMPO EVOLUCIONADO
311         x_vector(i)=x_vector(i)+vx_vector(i)*delta_time
312         y_vector(i)=y_vector(i)+vy_vector(i)*delta_time
313         z_vector(i)=z_vector(i)+vz_vector(i)*delta_time
314         call position_correction(n_p,density,x_vector(i),y_vector(i),z_vector(i))
315     end do
316     ! ACTUALIZAMOS COMPONENTES DE LA FUERZA A TIEMPO EVOLUCIONADO
317     call f_lj_total(x_vector,y_vector,z_vector,r_cutoff,n_p,density,force_x,force_y,force_z)
318     do i=1,n_p
319         ! COMPONENTES DE LA VELOCIDAD A TIEMPO EVOLUCIONADO
320         vx_vector(i)=vx_vector(i)+force_x(i)*factor
321         vy_vector(i)=vy_vector(i)+force_y(i)*factor
322         vz_vector(i)=vz_vector(i)+force_z(i)*factor
323     end do
324 end subroutine velocity_verlet
325
326 ! SUBROUTINA PARA DEFINIR PARAMETRO INICIALES DE DINAMICA MOLECULAR
327 subroutine md_initial_parameters(n_p,x_vector,y_vector,z_vector,&
328     vx_vector,vy_vector,vz_vector,&
329     T_adim_ref,delta_time,density,mass)
330
331     integer(sp), intent(in) :: n_p ! number of particles
332     real(dp), intent(inout) :: x_vector(n_p),y_vector(n_p),z_vector(n_p) ! position vectors
333     real(dp), intent(inout) :: vx_vector(n_p),vy_vector(n_p),vz_vector(n_p) ! velocities vectors
334     real(dp), intent(in) :: T_adim_ref,delta_time,density,mass ! temperature,time step,densidad,masa
335     real(dp) :: nrand
336     integer(sp) :: seed,seed_val(8),i
337     real(dp) :: vx_mc,vy_mc,vz_mc ! velocity center of mass
338
339     call date_and_time(values=seed_val)
340     seed=seed_val(8)*seed_val(7)*seed_val(6)+seed_val(5);call sgrnd(seed)
341     do i=1,n_p ! give random velocities
342         nrand=real(grnd(),dp);vx_vector(i)=(nrand-0.5_dp)
343         nrand=real(grnd(),dp);vy_vector(i)=(nrand-0.5_dp)
344         nrand=real(grnd(),dp);vz_vector(i)=(nrand-0.5_dp)
345     end do
346     ! calculamos velocidad del centro de masa
347     vx_mc=sum(vx_vector(:))*(1._dp/real(n_p,dp))
348     vy_mc=sum(vy_vector(:))*(1._dp/real(n_p,dp))
349     vz_mc=sum(vz_vector(:))*(1._dp/real(n_p,dp))
350     ! velocity center of mass to zero and rescaling
351     vx_vector(:)=vx_vector(:)-vx_mc
352     vy_vector(:)=vy_vector(:)-vy_mc
353     vz_vector(:)=vz_vector(:)-vz_mc
354     call rescaling_velocities(n_p,vx_vector,vy_vector,vz_vector,T_adim_ref,mass)
355
356     ! descomentar si se quiere re-assignar posiciones según velocidades iniciales
357     ! do i=1,n_p
358     !     ! position previous time step
359     !     x_vector(i)=x_vector(i)-vx_vector(i)*delta_time
360     !     y_vector(i)=y_vector(i)-vy_vector(i)*delta_time
361     !     z_vector(i)=z_vector(i)-vz_vector(i)*delta_time
362     !     ! corregimos posiciones según PBC

```

```

363      !      call position_correction(n_p,density,x_vector(i),y_vector(i),z_vector(i))
364      ! end do
365  end subroutine md_initial_parameters
366
367  ! SUBROUTINA PARA CALCULAR LA FUNCION DE DISTRIBUCIÓN RADIAL (FUNCION DE CORRELACIÓN)
368  subroutine radial_distribution_function(file_name,n_p,density,x_vector,y_vector,z_vector,n_bins,g)
369      character(len=*) , intent(in)      :: file_name                ! nombre del archivo de datos
370      integer(sp) ,      intent(in)      :: n_p,n_bins              ! numero de partículas y numero total de
bins
371      real(dp) ,          intent(in)      :: x_vector(n_p),y_vector(n_p),z_vector(n_p) ! coordenadas del vector posicion
372      real(dp) ,          intent(in)      :: density                ! densidad de partículas
373      real(dp) ,          intent(inout)    :: g(n_bins)              ! funcion distribución
374
375      integer(sp) :: ngr      ! contador de particulas
376      real(dp)   :: rij_pow02,rij ! distancia relativa entre par de partículas
377      real(dp)   :: L          ! logitud macroscópica
378      real(dp)   :: step_bins  ! tamaño de bins
379      real(dp)   :: volume     ! volumen de particulas
380      real(dp)   :: nid        ! numero de particulas del gas ideal en volume
381      integer(sp) :: i,j,index,istat ! loop variables
382
383      ! initialization
384      L=(real(n_p,dp)*(1._dp/density))* (1._dp/3._dp)
385      step_bins=L/(2*n_bins)
386      g(:)=0._dp
387
388      ! sample
389      ngr=0_sp;ngr=ngr+1_sp
390      do j=2,n_p;do i=1,j-1
391          ! relative distances (pow 2) with pbc correction
392          rij_pow02=rel_pos_correction(x_vector(i),y_vector(i),z_vector(i),&
393          x_vector(j),y_vector(j),z_vector(j),n_p,density)
394          ! relative distances
395          rij=sqrt(rij_pow02)
396          if (rij<=L/2) then ! only within half the box length
397              index=int(rij/step_bins)
398              g(index)=g(index)+2._dp ! contribution for particle i and j
399          end if
400      end do;end do
401
402      ! result initialization (determine g(rij))
403      open(100,file=file_name,status='replace',action='write',iostat=istat)
404      if (istat/=0) write(*,*) 'ERROR! istat(11file) = ',istat
405      101 format(E12.4,x,E12.4);102 format(A12,x,A12)
406      write(100,102) 'rij','g(rij)'
407      do i=1,n_bins
408          rij=step_bins*(i+0.5_dp)
409          ! volumen between bin i+1 and bin i
410          volume=(real(i+1,dp)**3-real(i,dp)**3)*(step_bins**3)
411          ! number of ideal gas particles in volume
412          nid=(1._dp/3._dp)*16._dp*atan(1._dp)*volume*density
413          ! normalize g(rij)
414          g(i)=g(i)/(real(ngr*n_p,dp)*nid)
415          write(100,101) rij,g(i)
416      end do
417      close(100)
418  end subroutine radial_distribution_function
419
420 end module module_md_lennard_jones

```